

روشی نوین برای خوشبندی داده‌ها با استفاده از الگوریتم بهینه‌سازی چهارگرگ خاکستری

لalah عجمی بختیاروند و زهرا بهشتی

استخراج داشت از مجموعه‌های داده‌ای و تبدیل آن به یک ساختار قابل فهم برای استفاده‌هایی در آینده می‌باشد [۲]. شکاف موجود بین داده‌ها و اطلاعات، سبب ایجاد نیاز به ابزارهای داده‌کاوی شده است تا داده‌هایی بی‌ارزش را به دانشی ارزشمند تبدیل کند [۳]. برای این کار الگوریتم‌های متعدد وجود دارد که هر یک برای هدف خاصی کاربرد دارند. خوشبندی از مهمترین الگوریتم‌های داده‌کاوی است و کاربرد بسیاری دارد. الگوریتم‌های خوشبندی، اطلاعاتی را که ویژگی‌های نزدیک به هم و مشابه دارند، در دسته‌هایی که به آنها خوش‌گفته می‌شود قرار می‌دهند. اکثر الگوریتم‌ها مراکز خوش را به صورت تصادفی انتخاب می‌کنند و راه حل نهایی وابستگی به انتخاب اولیه این مراکز دارد [۴]. از این رو امکان دارد به جای همگراشدن به بهینه سراسری به بهینه محلی همگرا شود. مسئله خوشبندی یک مسئله ان‌پی-سخت [۵] محسوب می‌شود و الگوریتم‌های دقیق [۳] قادر به حل نمونه‌هایی از آن با ابعاد کوچک هستند. از این رو می‌توان از الگوریتم‌های فرالبتکاری^۱ که از دسته الگوریتم‌های تقریبی هستند و برای حل مسایل پیچیده با ابعاد بالا کاربرد دارند استفاده کرد [۶] تا [۱۱].

الگوریتم‌های فرالبتکاری با انتخاب مراکز خوب در میان حجم وسیعی از داده‌ها، خوشبندی را انجام می‌دهند و از نظر پیچیدگی زمانی و مصرف حافظه، شرایط بهتری را نسبت به الگوریتم‌های دقیق فراهم می‌کنند. از قابلیت جستجوی این الگوریتم‌ها برای جستجوی مراکز خوشبندی مناسب در فضای ویژگی داده شده استفاده می‌گردد. در این راستا، تحقیقات زیادی روی بهبود کیفیت خوشبندی با الگوریتم‌های فرالبتکاری انجام شده است و هر روز نیز کارهای جدیدی به آن اضافه می‌گردد. الگوریتم‌های مانند بهینه‌سازی کلونی مورچه‌ها (ACO) [۱۲]، کلونی زنبور عسل (ABC) [۱۳]، تکامل تفاضلی (DE) [۱۴]، خفash (BA) [۱۵]، فاخته (CA) [۱۶]، سیاه‌چاله (BH) [۱۷]، متمیک بهینه‌سازی گرانش ذرات (MPGO) [۱۸]، جستجوی گرانشی (GSA) [۱۹]، گرگ خاکستری (GWO) [۲۰]، جستجوی گل (FPA) [۲۱]، جستجوی ارگانیسم هم‌زیست (SOS) [۲۲]، ژنتیک (GA) [۲۳]، بهینه‌سازی ازدحام ذرات (PSO) [۲۴]، شیر مورچه (ALO) [۲۵]، گروه میگوها (KHA) [۲۶]، شبیه‌سازی تبرید (SSA) [۲۷] و الگوریتم بهینه‌سازی نهنگ (SA) [۲۸] از جمله الگوریتم‌های فرالبتکاری هستند که در خوشبندی استفاده شده‌اند.

دلیل کاربرد زیاد این الگوریتم‌ها در خوشبندی آن است که این

چکیده: امروزه، خوشبندی داده‌ها به دلیل حجم و تنوع داده‌ها بسیار مورد توجه قرار گرفته است. مشکل اصلی روش‌های خوشبندهای معمول این است که در دام بهینه محلی گرفتار می‌آیند. الگوریتم‌های فرالبتکاری به دلیل داشتن توانایی فرار از بهینه‌های محلی، نتایج موفقی را در خوشبندی داده‌ها نشان داده‌اند. الگوریتم بهینه‌سازی گرگ خاکستری از جمله این دسته الگوریتم‌ها است که قابلیت بهره‌برداری خوبی دارد و در برخی از مسایل راه حل مناسبی ارائه داده است، اما اکتشاف آن ضعیف است و در بعضی از مسایل بهینه محلی همگرا می‌شود. در این تحقیق برای بهبود خوشبندی داده‌ها، نسخه بهبودیافته‌ای از الگوریتم بهینه‌سازی گرگ خاکستری به نام الگوریتم بهینه‌سازی چهارگرگ خاکستری ارائه شده که با استفاده از بهترین موقعیت دسته چهارگرگ‌ها به نام گرگ‌های امکای پیشرو در تغییر موقعیت هر گرگ، قابلیت اکتشاف بهبود می‌یابد. با محاسبه امتیاز هر گرگ نسبت به بهترین راه حل، نحوه حرکت آن مشخص می‌شود. نتایج الگوریتم پیشنهادی چهارگرگ خاکستری با الگوریتم‌های بهینه‌سازی گرگ خاکستری، بهینه‌سازی ازدحام ذرات، کلونی زنبور عسل مصنوعی، ارگانیسم‌های هم‌زیست و بهینه‌سازی ازدحام سالپ در مسئله خوشبندی روی چهارده مجموعه دادگان ارزیابی شده است. همچنین عملکرد الگوریتم پیشنهادی با چند نسخه بهبودیافته از الگوریتم گرگ خاکستری مقایسه شده است. نتایج به دست آمده عملکرد قبل توجه الگوریتم پیشنهادی را نسبت به سایر الگوریتم‌های فرالبتکاری مورد مقایسه در مسئله خوشبندی نشان می‌دهد. بر اساس میانگین معیار F روی تمام مجموعه دادگان، روش پیشنهادی $82/172\%$ و الگوریتم بهینه ذرات $78/248\%$ را نشان می‌دهد و در مقایسه با نسخه‌های بهبودیافته الگوریتم گرگ، الگوریتم EGWO که در رتبه بعدی است دارای میانگین معیار F برابر $65/6\%$ می‌باشد.

کلیدواژه: الگوریتم‌های فرالبتکاری، الگوریتم بهینه‌سازی گرگ خاکستری، الگوریتم بهینه‌سازی چهارگرگ، خوشبندی.

۱- مقدمه

با توجه به تولید حجم بالای اطلاعات در زمینه‌های مختلف و این حقیقت که ترکیبی از داده‌های مفید و غیر مفید در اختیار افراد قرار می‌گیرد، لزوم استفاده از روش‌های داده‌کاوی^۲ جهت استخراج اطلاعات مفید از حجم انبوهی از داده‌ها به خوبی احساس می‌گردد [۱]. داده‌کاوی استفاده شده‌اند.

این مقاله در تاریخ ۱۸ آذر ماه ماه ۱۳۹۹ دریافت و در تاریخ ۲ مهر ماه ۱۴۰۰ بازنگری شد.

لalah عجمی بختیاروند، دانشکده مهندسی کامپیوتر، واحد نجف‌آباد، دانشگاه آزاد اسلامی، نجف‌آباد، ایران، (email: l_ajami_b@sco.iaun.ac.ir).
زهرا بهشتی (نویسنده مسئول)، دانشکده مهندسی کامپیوتر، واحد نجف‌آباد، دانشگاه آزاد اسلامی، نجف‌آباد، ایران، (email: z-beheshti@iaun.ac.ir).

1. Data Mining

2. NP-Hard

3. Exact Algorithm

4. Meta-Heuristic Algorithm

الگوریتم بهینه‌سازی چهارگرگ خاکستری و استفاده از آن در خوشبندی داده‌ها در بخش ۳ بیان می‌گردد. در ادامه این بخش با استفاده از مثالی، عملکرد روش پیشنهادی برای خوشبندی داده‌ها نشان داده می‌شود. نتایج و بحث در بخش ۴ ارائه می‌گردد و در بخش ۵، نتیجه‌گیری و تحقیقات آینده شرح داده خواهد شد.

۲- پژوهش‌ها و کارهای موجود

۱- پژوهش‌های اخیر در زمینه خوشبندی با استفاده از الگوریتم‌های فرالبتکاری

در یکی از پژوهش‌های اخیر [۳۱]، خوشبندی بر اساس الگوریتم بهینه‌سازی فاخته برای شبکه‌های حسگر بی‌سیم ارائه شده است. مصرف یکنواخت انرژی و بهینه‌سازی آن، یک نگرانی عمده برای طراحی پروتکل خوشبندی و مسیریابی برای شبکه‌های حسگر بی‌سیم در مقیاس بزرگ است. اکثر راه حل‌های مبتنی بر محاسبات و الگوریتم‌های الهام گرفته شده از طبیعت برای مشکل مسیریابی مبتنی بر خوش برای شبکه سنسور بی‌سیم، دارای مشکل مصرف انرژی نامتوانن می‌باشند، به دلیل آن که گره‌های نزدیک به سینک از نظر بار ترافیکی بیش از حد بارگیری می‌شوند. در تحقیق انجام شده، یک روش خوشبندی متوازن انرژی مبتنی بر الگوریتم جستجوی فاخته ارائه شده که از یکتابع هدف جدید برای توزیع یکنواخت سرخوشه‌ها استفاده می‌کند.

با استفاده از الگوریتم‌های کلونی زنبور مصنوعی و تکامل دیفرانسیل، یک روش ترکیبی ارائه گردید که از آن برای ارزیابی بهترین مجموعه سرخوشه‌ها در توازن بار استفاده شده است [۳۲]. برای خوشبندی کارامد و توازن بار، یکتابع هدف جدید بر اساس میانگین انرژی، فاصله درون خوشه‌ای و پارامترهای تأخیر طراحی گردیده که از نظر میانگین مصرف انرژی، مصرف کل انرژی، انرژی باقیمانده و طول عمر شبکه دارای عملکرد بهتری نسبت به سایر روش‌های مورد مقایسه دارد.

الگوریتم‌های امنیتی زیادی برای محافظت از شبکه‌های تعريف شده توسط نرمافزار^۵ (SDN) پیشنهاد شده است، با این حال اکثر آنها در برابر حملات مختلف کارایی پایینی دارند. برای این منظور، شکلیل و همکاران [۳۳]، یک چارچوب که بتواند ترافیک پویا را اداره کند و شبکه را در برابر حملات DDoS^۶ محافظت کند با استفاده از خوشبندی بر اساس الگوریتم بهینه‌سازی نهنگ طراحی کردنده که برای تشخیص درخواستها از نوع حمله مورد استفاده قرار گرفت.

در پژوهشی دیگر در زمینه خوشبندی، سه الگوریتم ازدحام ذرات، ژنتیک و زنبور عسل برای مقداردهی اولیه برای الگوریتم خوشبندی فازی مبتنی بر کرنل استفاده شد [۳۴]. الگوریتم‌های پیشنهادی برای حل یک مطالعه مورده برای تقسیم‌بندی مشتریان در یکی از فروشگاه‌های فروش لباس در تایوان استفاده گردید که نتایج الگوریتم‌های پیشنهادی، ساختار خوش‌هایی بهتری نسبت به سایر الگوریتم‌های آزمایش شده ارائه می‌دهد.

با استفاده از الگوریتم بهینه‌سازی امواج آب^۷ (WWO)، یک روش خوشبندی ارائه شد [۳۵] که برای یافتن مراکز خوش بهتر، در مسایل بهینه‌سازی محدودیت‌دار و یا بدون محدودیت مورد استفاده قرار گرفت.

الگوریتم‌ها راهکارهایی را پیشنهاد می‌کنند که در فرار از دام بهینه‌های محلی مؤثر هستند. عامل مهم در یافتن راه حل‌های خوب در این الگوریتم‌ها، توازن بین قابلیت‌های اکتشاف^۸ و بهره‌برداری^۹ است. قابلیت اکتشاف به جستجوی گستره در فضای جواب اشاره دارد و قابلیت بهره‌برداری، استفاده از تجربیات به دست آمده در فرایند جستجو و تمرکز بر نواحی امیدبخش فضای جواب می‌باشد [۲۹]. بنابراین با ایجاد توازن پویا بین این دو قابلیت، جستجو به سمت محدوده‌هایی از فضای جواب سوق داده می‌شود که جواب‌های بهتری در آنها یافت شده و از طرف دیگر، موجب عدم اتلاف زمان بیشتر در بخشی از فضای جواب می‌شود که قبل از این بررسی شده و یا شامل جواب‌های نامرغوبی می‌باشد. اما این الگوریتم‌ها از آنجایی که در دسته الگوریتم‌های تقریبی هستند و تمام فضای جواب را جستجو نمی‌کنند، ممکن است به دام بهینه محلی گرفتار آیند و نتوانند از آن رهایی یابند که در این حالت جواب خوبی را برنامی گردانند. یکی از الگوریتم‌هایی که در بسیاری از مسایل بهینه‌سازی استفاده شده است، الگوریتم بهینه‌سازی گرگ‌های خاکستری [۳۰] است که قابلیت بهره‌برداری خوبی دارد ولی در اکتشاف و برقراری توازن با بهره‌برداری ضعیف عمل می‌کند. در این الگوریتم، حرکت گرگ‌ها بر اساس سه گرگ برتر جمعیت صورت می‌گیرد و اگر این سه گرگ در نقطه بهینه محلی باشند کل جمعیت به سمت آن نقطه حرکت خواهد کرد.

در این تحقیق برای بهبود خوشبندی داده‌ها نسخه‌ای از الگوریتم بهینه‌سازی گرگ خاکستری به نام الگوریتم بهینه‌سازی چهارگرگ^{۱۰} (GWO) ارائه می‌گردد. در الگوریتم بهینه‌سازی گرگ خاکستری، به منظور شیوه‌سازی رفتار اجتماعی گرگ‌ها، یک جمعیت تصادفی از راه حل‌ها تولید شده و اولین راه حل بهینه به نام آلفا و دومین و سومین راه حل‌های بهینه به ترتیب به نام بتا و دلتا معروفی می‌شود. سایر گرگ‌ها با استفاده از موقعیت این سه گرگ تغییر موقعیت می‌دهند، بنابراین اگر این سه گرگ در بهینه محلی گرفتار شوند سایر اعضای جمعیت را نیز به سمت این موقعیت خواهند کشاند. در الگوریتم پیشنهادی، از عملکرد دسته چهارم که گرگ‌های امگایی پیشرو^{۱۱} نامیده می‌شوند برای فرار از بهینه‌های محلی و بهبود قابلیت اکتشاف استفاده می‌گردد. به این منظور برای هر گرگ جمعیت، امتیازی محاسبه می‌گردد و بر اساس آن، نوع حرکت مشخص می‌شود. هرچه گرگ موقعیت بهتری داشته باشد (یعنی به جواب خوب نزدیک باشد) امتیاز آن بیشتر است. در ابتدای اجرای الگوریتم که گرگ‌ها از نقطه بهینه فاصله دارند، امتیاز کمی دارند و بنابراین بر اساس موقعیت بهترین گرگ‌های امگایی پیشرو که موقعیتی تصادفی در فضای جستجو است، تغییر موقعیت می‌دهند و به اکتشاف می‌پردازند. گرگ‌ها به ترتیج که از حالات اکتشاف به سمت بهره‌برداری حرکت می‌کنند، دارای امتیاز بهتری می‌گردد و بر اساس حرکت سه گرگ برتر جمعیت حرکت می‌کنند. این نحوه حرکت، باعث پیمایش بهتر فضای مسأله می‌گردد و مراکز خوش دقيق تر انتخاب می‌شوند.

در ادامه و در بخش ۲ پژوهش‌های اخیر در زمینه خوشبندی با الگوریتم‌های فرالبتکاری شرح داده می‌شوند و پس از آن، الگوریتم بهینه‌سازی گرگ خاکستری توضیح داده می‌شود. روش پیشنهادی شامل

1. Exploration

2. Exploitation

3. 4-Gray Wolf Optimization Algorithm

4. Scout Omega Wolf

5. Software-Defined Network

6. Distributed Denial of Service

7. Water Wave Optimization

رنگی چهره با الگوریتم‌های ژنتیک، بهینه‌سازی ازدحام ذرات، الگوریتم بهینه‌سازی ملخ و الگوریتم جستجوی کلاگ مقایسه شد که روش پیشنهادی، عملکرد و سرعت همگرایی بهتری داشت.

از تحقیقات انجام‌شده روی خوشبندی با الگوریتم‌های فرالبتکاری می‌توان چنین نتیجه گرفت که این الگوریتم‌ها می‌توانند کارایی خوشبندی و همچنین خوشبندی‌های سنتی را بهبود دهند. تا کنون الگوریتم‌های بسیاری برای مسأله خوشبندی معرفی شده‌اند، اما هنوز نیاز است تا این مسأله با استفاده از الگوریتم‌های جدیدتر که کارایی خوبی روی مسایل بهینه‌سازی با ابعاد بالا داشته‌اند و چندان نیازی به اطلاعات زمینه‌ای از مسأله ندارند، مورد بررسی و تجزیه و تحلیل قرار گیرد. از جمله این الگوریتم‌ها می‌توان به الگوریتم‌های فرالبتکاری اشاره کرد که دارای این خصوصیات هستند و از میان این دسته، الگوریتم بهینه‌سازی گرگ خاکستری برای حل بسیاری از مسایل بهینه‌سازی با ابعاد بالا مورد استفاده قرار گرفته است. در ادامه به بررسی این الگوریتم پرداخته می‌شود.

۲-۲ الگوریتم بهینه‌سازی گرگ خاکستری

این الگوریتم از رفتار گرگ‌های خاکستری در شکار و نحوه رهبری اجتماعی آنها در طبیعت الهام گرفته شده است [۳۰] و همانند دیگر الگوریتم‌های فرالبتکاری، ابتدا با یک جمعیت تصادفی از گرگ‌ها (راه حل‌های کاندیدا) آغاز می‌شود. در این الگوریتم، طبقات اجتماعی گرگ‌ها به ۴ گروه آلفا (α)، بتا (β)، دلتا (δ) و امگا (ω) تقسیم می‌شوند. در تکرارهای مختلف الگوریتم، سه راه حل برتر هر دور به ترتیب گروه آلفا (α)، بتا (β) و دلتا (δ) نامیده می‌شوند. در این الگوریتم فرایند شکار (بهترین راه حل) توسط این سه گرگ برتر هدایت می‌شود. گرگ‌های امگا برای رسیدن به بهترین راه حل‌ها به دور این سه گرگ حلقه می‌زنند و تغییر موقعیت گرگ‌ها بر اساس روابط زیر می‌باشد

$$\vec{D} = |\vec{C} \cdot \vec{X}_P - \vec{X}(t)| \quad (1)$$

$$\vec{X}(t+1) = \vec{X}_P - \vec{A} \cdot \vec{D} \quad (2)$$

که \vec{X}_P بردار مکانی طعمه (شکار)، $\vec{X}(t)$ موقعیت فعلی و $\vec{X}(t+1)$ موقعیت بعدی را نشان می‌دهد. در روابط فوق، دو بردار \vec{C} و \vec{A} از روابط زیر محاسبه می‌شوند

$$\vec{C} = 2 \cdot \vec{r} \quad (3)$$

$$\vec{A} = 2 \vec{a} \cdot \vec{r} - \vec{a} \quad (4)$$

که در آن \vec{a} یک بردار کاهشی است و در طول اجرای الگوریتم به صورت خطی از ۲ به صفر می‌رسد. \vec{r} و \vec{a} بردار اعداد تصادفی در بازه $[0, 1]$ می‌باشند.

به منظور شبیه‌سازی ریاضیاتی رفتار گرگ‌های خاکستری در شکار، همواره موقعیت سه راه حل برتر (آلفا، بتا و دلتا) تا آخرین لحظه ذخیره شده و دیگر گرگ‌ها (ω) موظف هستند موقعیت خود را با توجه به موقعیت سه گرگ برتر به روز رسانی کنند. مدل ریاضیاتی به روز رسانی موقعیت گرگ‌های ω به صورت زیر است

$$\vec{D}_{\omega} = |\vec{C} \cdot \vec{X}_{\omega} - \vec{X}| \quad (5)$$

$$\vec{D}_{\alpha} = |\vec{C} \cdot \vec{X}_{\alpha} - \vec{X}|$$

$$\vec{D}_{\beta} = |\vec{C} \cdot \vec{X}_{\beta} - \vec{X}|$$

محققین دیگری نیز الگوریتم‌های فرالبتکاری دیگری مانند جستجوی گرانشی [۱۹]، گرگ خاکستری [۱۱] و جستجوی ارگانیسم همزیست در خوشبندی مجموعه دادگان مختلف را مورد ارزیابی قرار دادند.

با پیشرفت‌های اخیر در روش‌های محاسبات مبتنی بر اینترنت، استفاده از برنامه‌های مبتنی بر ابر برای تسهیل فعالیت‌های روزانه به طور قابل توجهی در حال افزایش است. از آنجا که حجم کار ارسالی توسط کاربران برای استفاده از برنامه‌های مبتنی بر ابر از نظر معیارهای کیفیت خدمات متفاوت است، نیاز به تجزیه و تحلیل و شناسایی این حجم‌های کاری ناهمگن ابر برای منابع کارامد به عنوان یکی از مسایل چالش‌برانگیز است. قبایی و شهیدی نژاد [۳۶]، روش خوشبندی پیشنهادی از ترکیبی از الگوریتم‌های ژنتیک و خوشبندی فازی برای یافتن خوشبندی مشابه با توجه به نیازهای کیفیت خدمات به کاربر استفاده می‌کند.

از الگوریتم‌های فرالبتکاری برای بهبود الگوریتم‌های خوشبندی سنتی مانند K -میانگین^۱ که اغلب در دام بهینه‌های محلی گرفتار می‌آیند و نرخ همگرایی کندی برای مجموعه داده‌های بزرگ دارند، استفاده می‌شود. با استفاده از الگوریتم ترکیبی بهینه‌سازی گردهافشانی گل مبتنی بر نقشه‌های آشوب و K -میانگین [۲۰] کارایی خوشبندی روی مجموعه دادگان مختلف بررسی گردید که در مقایسه با سایر روش‌ها، از نظر معیارهای یکپارچگی خوش، زمان اجرا و تعداد تکرارهای همگرایی کارایی بهتری داشت.

افراخته و بستانی با استفاده از الگوریتم بهینه‌سازی ازدحام ذرات [۳۷] به خوشبندی داده‌های سرعت باد در نیروگاه‌های بادی پرداختند و نتایج به دست آمده را با روش‌های خوشبندی فازی و K -میانگین مقایسه کردند. نتایج شبیه‌سازی نشان داد که روش ارائه شده همگرایی بهتری نسبت به دو روش دیگر داشت. در تحقیقی دیگر، از روش خوشبندی سلسه‌مراتبی BIRCH با الگوریتم بهینه‌سازی واکنش شیمیایی جهت کشف تقلب در حوزه سلامت استفاده شد [۳۸]. نتایج نشان داد که روش پیشنهادی از سرعت و دقت بهتری در تشخیص داده‌های تقلب در حوزه سلامت نسبت به سایر الگوریتم‌های مورد مقایسه برخوردار است.

یکی دیگر از انواع خوشبندی‌ها، خوشبندی ظرفیت‌دار است که کاربرد وسیعی در داده‌کاوی دارد. در این مسأله، هدف افزار یک مجموعه n تایی از عناصر به P خوش ظرفیت‌دار است به طوری که تمامی اعضای یک خوش به نقطه‌ای که به عنوان مرکز تقلیل آن خوش تعیین می‌شود، تخصیص یابند و عدم تشابه تمامی نقاط یک خوش به از مرکز ثقل خوش به رعایت محدودیت ظرفیت در هر خوش حداقل گردد، به طوری که هر عنصر تنها به یک خوش تخصیص یابد. یقینی و لسان دو روش برای این نوع خوشبندی با استفاده از الگوریتم شبیه‌سازی تبریدی و الگوریتم ژنتیک ارائه کردند [۳۹]. در روش اول برای جستجوی جواب از ساختارهای مختلف همسایگی و در روش دوم از یک رویه ابتکاری جستجوی محلی استفاده شد. نتایج نشان دادند که الگوریتم ژنتیک پیشنهادی کارایی بهتری نسبت به شبیه‌سازی تبرید در مسایل کوچک و متوسط دارد.

در پژوهشی دیگر، یک روش بخش‌بندی تصاویر رنگی چهره با استفاده از خوشبندی فازی بهینه‌شده با الگوریتم‌های گرگ خاکستری و نهنگ ارائه شد [۴۰]. نتایج بخش‌بندی از روش پیشنهادی در بخش‌بندی تصاویر

مستقیم در الگوریتم اصلی گرگ، یعنی نادیده‌گرفتن سلسه‌مراتب اجتماعی آن، الگوریتمی از گرگ^۳ (G-NHGWO) ارائه کردند تا مشکل اکتشاف ضعیف الگوریتم گرگ خاکستری را حل کنند. همان‌گونه که مشاهده می‌شود مشکل اصلی الگوریتم بهینه‌سازی گرگ خاکستری، اکتشاف ضعیف و همگرایی زودرس می‌باشد که با بهبود آن می‌توان راه حل‌های بهتری را به دست آورد.

۳- روش پیشنهادی

در روش پیشنهادی، ابتدا الگوریتم چهارگرگ خاکستری توضیح داده می‌شود که در آن با استفاده از موقعیت گرگ‌های امگا پیشرو و موقعیت سایر گرگ‌ها، تصمیم‌گیری برای یافتن موقعیت بعدی هر گرگ صورت می‌گیرد. هدف در الگوریتم پیشنهادی، بهبود قابلیت اکتشاف و بهبود توازن بین قابلیت اکتشاف و بهره‌برداری است. در ادامه، نحوه نگاشت الگوریتم پیشنهادی چهارگرگ خاکستری برای یافتن مراکز خوشه در مسئله خوشبندی بیان می‌گردد.

۱-۳ الگوریتم بهینه‌سازی چهار گرگ خاکستری

در این تحقیق برای حل مشکل همگرایی زودرس و فرات از بهینه محلی الگوریتم بهینه‌سازی گرگ خاکستری، بهبودی از الگوریتم به نام الگوریتم بهینه‌سازی چهارگرگ خاکستری ارائه می‌گردد. ایده اصلی این الگوریتم، استفاده از دسته‌ای از گرگ‌های خاکستری امگا به نام گرگ‌های پیشرو در حرکت مؤثر به سمت طعمه است.

در ابتدا جمعیت گرگ‌ها به طور تصادفی مقداردهی اولیه می‌گردد و تابع برآزنده‌گی جمعیت ارزیابی می‌شود. بهترین موقعیت بر اساس این تابع به عنوان گرگ آلفا، بهترین راه حل دوم به عنوان گرگ بتا و بهترین راه حل سوم، گرگ دلتا در نظر گرفته می‌شود. موقعیت همه گرگ‌ها در فضای جستجو با توجه موقعیت این سه گرگ برتر به روز رسانی می‌گردد. بدین صورت که مقدار $\overrightarrow{X}_\alpha$ ، \overrightarrow{X}_β و $\overrightarrow{X}_\delta$ برای هر گرگ بر اساس موقعیت گرگ‌های آلفا، بتا و دلتا و موقعیت فعلی گرگ‌ها محاسبه می‌شود و در نهایت موقعیت بعدی گرگ از میانگین مکانی $\overrightarrow{X}_\alpha$ و \overrightarrow{X}_β به دست می‌آید. در بعضی مواقع، الگوریتم در دام بهینه محلی گرفتار می‌آید و سه گرگ آلفا، بتا و دلتا جمعیت را به سمت بهینه محلی هدایت می‌کنند. برای حل این مشکل از روابط زیر، موقعیت جدید گرگ‌ها نسبت به گرگ آلفا محاسبه می‌گردد و بر اساس دور یا نزدیک‌بودن به گرگ آلفا، تصمیم‌گیرهای بعدی اتخاذ می‌شود

$$\overrightarrow{TPV_i} = \frac{\overrightarrow{X}_{i\alpha} + \overrightarrow{X}_{i\beta} + \overrightarrow{X}_{i\delta}}{3} \quad (8)$$

$$p_i = \frac{fit(worst) - fit(\overrightarrow{TPV_i})}{fit(worst) - fit(\overrightarrow{X_\alpha})} \quad (9)$$

که i نشان‌دهنده گرگ i است. $\overrightarrow{TPV_i}$ موقعیت جدید موقعیت اول و $fit(\overrightarrow{TPV_i})$ مقدار تابع برآزنده‌گی برای آن است. $fit(worst)$ مقدار تابع برآزنده‌گی برای بدترین گرگ و $fit(\overrightarrow{X_\alpha})$ مقدار تابع برآزنده‌گی برای گرگ آلفا است. p_i میزان نزدیکی یا دوری از گرگ آلفا را نشان می‌دهد. مقدار p_i در بازه صفر و یک است. در صورتی که p_i برای بدترین گرگ محاسبه گردد، مقدار آن صفر و در صورتی که برای بهترین گرگ (گرگ آلفا) محاسبه شود، مقدار آن یک خواهد بود. با توجه به تعداد گرگ‌های

$$\begin{aligned} \overrightarrow{X}_\alpha &= \overrightarrow{X_\alpha} - \overrightarrow{A_\alpha} \cdot (\overrightarrow{D_\alpha}) \\ \overrightarrow{X}_\beta &= \overrightarrow{X_\beta} - \overrightarrow{A_\beta} \cdot (\overrightarrow{D_\beta}) \\ \overrightarrow{X}_\delta &= \overrightarrow{X_\delta} - \overrightarrow{A_\delta} \cdot (\overrightarrow{D_\delta}) \end{aligned} \quad (6)$$

$$\overrightarrow{X}(t+1) = \frac{\overrightarrow{X}_\alpha + \overrightarrow{X}_\beta + \overrightarrow{X}_\delta}{3} \quad (7)$$

که در آن $\overrightarrow{X_\alpha}$ ، $\overrightarrow{X_\beta}$ و $\overrightarrow{X_\delta}$ به ترتیب موقعیت گرگ‌های آلفا، بتا و دلتا و \overrightarrow{X} ، $\overrightarrow{X_\alpha}$ و $\overrightarrow{X_\beta}$ موقعیت هر گرگ بر اساس این سه گرگ است. $\overrightarrow{A_\alpha}$ و $\overrightarrow{A_\beta}$ و $\overrightarrow{A_\delta}$ همگی بردارهای تصادفی هستند که مانند (۳) و (۴) محاسبه می‌گردد و $\overrightarrow{X}(t+1)$ موقعیت جدید گرگ‌ها را نشان می‌دهد.

تا کنون نسخه‌های متعددی از الگوریتم گرگ خاکستری ارائه گردیده که در هر کدام روشی برای بهبود الگوریتم در نظر گرفته شده است. لی و همکاران [۴۱] به طور مساوی جمعیت اولیه گرگ خاکستری را در فضای مسئله توزیع کردند و از جهش گاوی برای جلوگیری از افتادن الگوریتم در بهینه‌های محلی استفاده نمودند و نهایتاً یک عامل کنترل سینوسی برای ایجاد توازن بین قابلیت اکتشاف سراسری و محلی الگوریتم در جهت بهبود سرعت همگرایی الگوریتم معرفی کردند. در پژوهشی دیگر، به منظور بهبود سرعت همگرایی، از نقشه‌های آشوبی در الگوریتم گرگ (CGWO) استفاده شد [۴۲]. یک الگوریتم ترکیبی با استفاده از الگوریتم بهینه‌ساز گرگ خاکستری و الگوریتم آتش‌بازی که از فرایند انفجار آتش‌بازی تقیید می‌کند، ارائه شد [۴۳] و از مزایای این دو الگوریتم برای دستیابی به بهترین نتیجه استفاده گردید. در الگوریتم پیشنهادی از قابلیت اکتشاف بهتر الگوریتم آتش‌بازی و قابلیت بهره‌برداری بهتر الگوریتم گرگ خاکستری استفاده شد. محمذاده و همکاران [۴۴]، یک الگوریتم بهبودیافته از گرگ خاکستری ارائه کردند که در آن ضعیفترین گرگ‌ها از جمعیت حذف شده و از دیگر گرگ‌ها در جمعیت اولیه گنجانده می‌شوند. انتخاب گرگ‌های جایگزین به صورت تصادفی یا بر اساس تابع برآزنده خواهد بود. در این الگوریتم، موقعیت هر گرگ در هر تکرار بررسی می‌گردد و در صورت بهبود، این موقعیت در نظر گرفته می‌شود و در غیر این صورت گرگ‌ها در آخرین حالت مناسب باقی می‌مانند.

یک الگوریتم بهبودیافته دیگر از الگوریتم گرگ^۳ (EEGWO) برای افزایش قابلیت اکتشاف گرگ خاکستری ارائه شد [۴۵]. الگوریتم پیشنهادی به منظور بهبود اکتشاف، از یک همسایه تصادفی از جمعیت برای تعییر موقعیت هر گرگ علاوه بر روابط خود الگوریتم استفاده می‌کند. همچنین به منظور توازن بین اکتشاف و بهره‌برداری، از یک پارامتر کنترل غیر خطی بهره می‌گیرد و پارامتر کنترلی در طول تکرارها به صورت غیر خطی تعییر می‌باید. در تحقیقی دیگر، با بهبود پارامتر کنترلی a در الگوریتم گرگ (AGWO) سعی در بهبود قابلیت اکتشاف و بهره‌برداری شد [۴۶]. یک الگوریتم بهبودیافته دیگر^۳ (EGWO) برای تقلید از سلسه‌مراتب رهبری و روش شکار گروهی گرگ‌های خاکستری در طبیعت پیشنهاد شد [۴۷]. در این الگوریتم، محل شکار توسط گرگ‌های رهبر تخمین زده می‌شود، هر گرگ مستقیماً به سمت محل تخمینی شکار حرکت می‌کند و وزن گرگ آلفا در تعییر موقعیت هر گرگ بیشتر در نظر گرفته می‌شود. اکبری و همکاران [۴۸] با معرفی یک تعییر

1. Chaotic Grey Wolf Optimization

2. Exploration-Enhanced Grey Wolf Optimizer

3. Enhanced Grey Wolf Optimizer

ویژگی باشند، ابعاد هر گرگ به صورت شکل ۱ خواهد بود. در این شکل سه مرکز خوشه (۱ و ۵) و (۲ و ۴) وجود دارد که به یک گرگ اختصاص داده شده است. فاصله داده‌ها تا این مرکز محاسبه می‌گردد. بقیه گرگ‌ها نیز دارای مرکز دیگر هستند که فاصله داده‌ها تا آنها محاسبه می‌شود و از بین آنها کمترین فاصله تا مرکز خوشه محاسبه می‌گردد.تابع برآزنده‌گی که در اینجا به این منظور در نظر گرفته شده است بر اساس [۲۱] و [۴۹] می‌باشد که به صورت زیر است

$$f(D, C) = \sum_{i=1}^n \min \{ \|d_i - c_j\| \}, \quad j = 1, 2, \dots, k \quad (12)$$

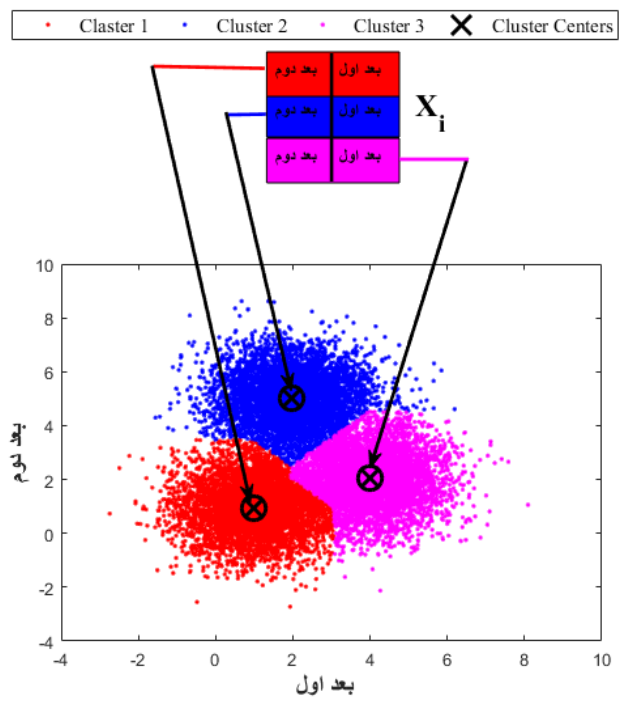
که هدف در آن حداقل کردن مجموع فاصله بین داده i و مرکز خوشه j ($j = 1, 2, \dots, k$) است. n تعداد داده‌ها و k تعداد مرکز خوشه‌هاست. در رابطه فوق، $\|d_i - c_j\|$ فاصله اقلیدسی بین داده i و مرکز خوشه j است که از رابطه زیر محاسبه می‌گردد

$$dist(d_i, c_j) = \sqrt{\sum_{p=1}^m (d_{ip} - c_{jp})^2} \quad (13)$$

که در آن m تعداد ابعاد داده‌هاست. در واقع هدف اصلی، اختصاص داده‌ها به مرکز خوشه‌ها است به نحوی که فواصل داده‌های درون خوشه با مرکز آن کمینه گردد. در روش پیشنهادی، پارامترهای الگوریتم مقداردهی می‌شوند و بر اساس تعداد ویژگی‌های مجموعه دادگان و تعداد مرکز خوشه‌ها، ابعاد هر گرگ مشخص می‌شود. سپس مرکز خوشه به صورت تصادفی مقداردهی می‌گردد. موقعیت هر گرگ به عنوان راه حلی برای مرکز خوشه در نظر گرفته می‌شود. الگوریتم اجرا می‌شود و فاصله نمونه‌های مجموعه دادگان تا مرکز خوشه‌ها محاسبه می‌گردد. داده‌ها در خوشه‌هایی قرار می‌گیرند که حداقل فاصله تا مرکز خوشه‌ها را داشته باشند. گرگ‌ها راه حل‌های جدید را پیدا کرده و با توجه به تابع برآزنده‌گی آنها سه گرگ برتر انتخاب می‌شوند. بر اساس موقعیت هر گرگ، تصمیم‌گیری برای تعیین موقعیت بعدی انجام می‌گردد. در صورتی که موقعیت گرگ از گرگ آلفا دور باشد، حرکت بر اساس موقعیت بهترین گرگ امکای پیشرو و سه گرگ برتر صورت می‌گیرد و در غیر این صورت فقط بر اساس موقعیت سه گرگ برتر انجام می‌شود. این روال تا رسیدن به شرط خاتمه الگوریتم ادامه پیدا می‌کند و در پایان موقعیت گرگ آلفا به عنوان بهترین مرکز خوشه بر می‌گردد. شبکه کد الگوریتم پیشنهادی در شکل ۲ نشان داده شده است.

۳-۳ مثالی از روش خوشه‌بندی با استفاده از الگوریتم پیشنهادی

در جدول ۱ موقعیت‌های اعضای جمعیت در الگوریتم بهینه‌سازی چهارگرگ در تکرارهای مختلف نشان داده شده است. در ابتدا اعضای جمعیت مقداردهی اولیه می‌شوند و ابعاد هر گرگ به تعداد مرکز خوشه در تعداد ویژگی‌های مجموعه دادگان است. مشخصات مجموعه داده در ستون اول جدول ۲ نمایش داده شده است. در این مثال مجموعه داده دارای ۲ ویژگی (Feature1, Feature2) است و برچسب داده‌های آن (Label) و تعداد نمونه‌های آن ۱۰ می‌باشد. در مرحله مقداردهی اولیه (Step 1) ابتدا همه گرگ‌ها به صورت تصادفی مقداردهی اولیه می‌شوند (Initialization) و از بین آنها بهترین گرگ که دارای بهترین تابع برآزنده‌گی است به عنوان گرگ آلفا انتخاب می‌گردد. در جدول ۱ در ردیف اول، گرگ ۲ (GW2) که دارای بهترین تابع برآزنده‌گی (۱۲/۳۱۱۹)



شکل ۱: ابعاد و ساختار هر گرگ در مسئله خوشه‌بندی.

امگای پیشرو، این دسته به صورت تصادفی در فضای مسئله، مقداردهی می‌گردد و بهترین موقعیت گرگ‌های امگای پیشرو ($X_{best_{sw}}$) انتخاب و موقعیت وقت دوم برای گرگ i ام از رابطه زیر محاسبه می‌گردد

$$\overrightarrow{TP_2}_i = \overrightarrow{TP}_i + rand(-1, 1)(\overrightarrow{TP}_i - \overrightarrow{X_{best_{sw}}}) \quad (10)$$

که در آن $rand(-1, 1)$ یک عدد تصادفی بین ۱ و -۱ است. حال بر اساس p_i ، تصمیم‌گیری برای موقعیت جدید گرگ i ام به صورت زیر انجام می‌گیرد

$$\overrightarrow{X_i(t+1)} = \begin{cases} \overrightarrow{TP}_i & \text{if } p_i \geq 0.5 \\ \overrightarrow{TP_2}_i & \text{otherwise} \end{cases} \quad (11)$$

اگر $p_i \leq 0.5$ باشد، نشان‌دهنده آن است که موقعیت وقت اول از گرگ آلفا فاصله دارد و موقعیت جدید برابر موقعیت وقت دوم می‌شود و در غیر این صورت، موقعیت جدید برابر موقعیت وقت اول می‌گردد.

در ابتدای الگوریتم باید اکتشاف فضاهای جدید گرگ پیشرو (که به صورت تصادفی مقدار گرفته است) محاسبه می‌گردد. به تدریج در اواسط اجرای الگوریتم، بایستی گرگ‌ها از حالت اکتشاف به سمت بهره‌برداری حرکت کنند. از این رو موقعیت جدید بر اساس موقعیت وقت اول که نزدیک بهترین موقعیت یافته شده تا کنون (گرگ آلفا) است، محاسبه می‌گردد. شرط خاتمه در این الگوریتم بر اساس شرایط مسئله مشخص می‌گردد که می‌تواند رسیدن به تعداد تکرار مشخص یا خطای مشخص شده در مسئله باشد.

۲-۳ الگوریتم پیشنهادی چهارگرگ خاکستری در مسئله خوشه‌بندی

به منظور تطبیق الگوریتم پیشنهادی با خوشه‌بندی، موقعیت هر گرگ به عنوان راه حلی برای مرکز خوشه در نظر گرفته می‌شود، یعنی موقعیت هر گرگ شامل مرکز خوشه‌ها می‌باشد. به عنوان مثال اگر ۳ مرکز خوشه در نظر گرفته شود و داده‌هایی که قرار است خوشه‌بندی گردند دارای ۲

سیستم عامل ۶۴ bit و در محیط متلب ۲۰۱۵ پیاده‌سازی شده‌اند. در ابتدا مقدار پارامترها با استفاده از نتایج آزمایش‌ها به دست می‌آید و سپس روش پیشنهادی بر روی مجموعه دادگان UCI [۵۰] که در [۲۱] و [۲۵] استفاده شده است، با الگوریتم‌هایی مانند الگوریتم بهینه‌ساز گرگ خاکستری، بهینه‌سازی ازدحام ذرات، زنبور عسل مصنوعی، ارگانیسم‌های هم‌زیست و سالپ مقایسه می‌شود. مجموعه دادگان UCI مورد استفاده و ویژگی‌های آنها در جدول ۳ نشان داده شده است. این مجموعه دادگان دارای تعداد ویژگی کم، متوسط و زیاد می‌باشد. همچنین در تعداد مراکز خوشه و تعداد نمونه نیز دارای این نوع می‌باشد که قرارگرفتن صحیح داده‌ها در خوشه‌های مناسب در مجموعه دادگانی با تعداد مراکز بالا نیز از چالش‌های خوشه‌بندی است. علاوه بر آن در این جدول، مجموعه دادگانی با داده‌های نامتوانن نیز در نظر گرفته شده که خوشه‌بندی آنها مشکل می‌باشد و از جمله آنها می‌توان به مجموعه دادگان Ecoli و Zoo اشاره کرد.

شبیه‌سازی و نتایج پیاده‌سازی الگوریتم پیشنهادی ۴GWO-C بر اساس تعداد اعضای جمعیت، تعداد ابعاد مسئله و حداکثر تعداد تکرار به عنوان متغیرهای مستقل و درصد خطأ یا طبقه‌بندی نادرست^(۱) (MCR)، دقّت^(۲)، معیار F ^(۳) و مجموع فاصله اعضاء تا مراکز خوشه (تابع برآزندگی) به عنوان متغیر وابسته برای مشخصنمودن پارامترهای الگوریتم مورد ارزیابی قرار می‌گیرد که این نتایج در جدول ۴ آمده است. سپس با استفاده از معیارهای ارزیابی، کارایی الگوریتم‌ها با یکدیگر مقایسه می‌شوند. معیارهای ارزیابی به صورت زیر محاسبه می‌گردند [۲۵] و [۴۹]

$$P(i, j) = \frac{n_{i,j}}{n_j} \quad (14)$$

$$R(i, j) = \frac{n_{i,j}}{n_i} \quad (15)$$

$$f(i, j) = 2 \times \frac{P(i, j) \times R(i, j)}{P(i, j) + R(i, j)} \quad (16)$$

که $P(i, j)$ و $R(i, j)$ به ترتیب دقّت و فراخوانی_{i,j} تعداد اعضای درست کلاس i در خوشه j ، n_j تعداد همه اعضای خوشه j و n_i تعداد همه اعضای کلاس i است. معیار F برای همه خوشه‌ها از رابطه زیر محاسبه می‌گردد

$$F-measure = \sum_j \frac{n_j}{n} \max_i f(i, j) \quad (17)$$

که در آن n تعداد اعضای همه خوشه‌هاست. همچنین درصد طبقه‌بندی نادرست از رابطه زیر بر حسب درصد تعداد طبقه‌بندی‌های نادرست به تعداد کل طبقه‌بندی‌ها محاسبه می‌گردد که در یک خوشه‌بندی ایده‌آل این مقدار صفر است

$$MCR = \frac{\text{Number of Incorrect Classifications}}{\text{Total Number of Classifications}} \times 100 \quad (18)$$

نتایج ارزیابی الگوریتم ۴GWO-C در مسئله خوشه‌بندی روی مجموعه دادگان UCI در مقایسه با الگوریتم‌های دیگر، حاصل از ۱۰ بار اجرای مستقل و میانگین‌گیری روی نتایج، در جدول ۵ آمده است. همان‌گونه

1. Misclassification Rate
2. Precision
3. F-Measure

Algorithm: 4GWO algorithm for Clustering (4GWO-C)

1. Function 4GWO-C (problem)
2. **Input:** Population_size, ScoutOmega_size, dataset
3. **Output:** Best solution (\overline{X}_α : Cluster centers)
4. Set parameters
5. Compute the dimension of each wolf
6. Initialize $X_i, i=1,2,\dots, Population_size$
7. **Repeat**
8. Evaluate $f(D, C) = \sum_{i=1}^n \min \{ \|d_i - c_j\| \}, j=1,2,\dots,k$
9. Select $\overline{X}_\alpha, \overline{X}_\beta, \overline{X}_\delta$ and the worst wolf
10. **for** $i = 1$ to $Population_size$ **do**
11. Compute $\overline{X}_{i1}, \overline{X}_{i2}, \overline{X}_{i3}$
12. Compute $\overline{TPI}_i = \frac{\overline{X}_{i1} + \overline{X}_{i2} + \overline{X}_{i3}}{3}$
13. Compute $p_i = \frac{fit(worst) - fit(\overline{TPI}_i)}{fit(worst) - fit(\overline{X}_\alpha)}$
14. Initialize $\overline{X}_{soj}, j=1,2,\dots, Scout_Omega_size$
15. Select the best of \overline{X}_{soj} as $\overline{X}_{best_{soj}}$
16. Compute $\overline{TP2}_i = \overline{TPI}_i + rand(-1,1)(\overline{TPI}_i - \overline{X}_{best_{soj}})$
17. Compute $\overline{X}_i = \begin{cases} \overline{TPI}_i & \text{if } p_i \geq 0.5 \\ \overline{TP2}_i & \text{otherwise} \end{cases}$
18. **End for**
19. **Until stop criteria is met**
20. Best solution = \overline{X}_α
21. Return Best Solution

شکل ۲: شبیه‌کد الگوریتم بهینه‌سازی چهارگرگ برای خوشه‌بندی داده‌ها.

است به عنوان گرگ آلفا انتخاب می‌شود و همان طور که در جدول ۲ و شکل ۳ دیده می‌شود، مرکز خوشه ۱ در این مرحله فقط یک عضو دارد. بر اساس حرکت گرگ‌ها در اولین تکرار (۱) (Iteration = ۱) مرکز خوشه‌ها تغییر می‌کند ولی باز همان گرگ شماره ۲ بهترین نتیجه را دارد که تابع برآزندگی آن از همه بهتر است. مرکز خوشه ۱ در این مرحله دارای دو عضو می‌گردد، همان طور که در جدول ۲ و شکل ۳ نشان داده شده است. همان گونه که در جدول‌های ۱ و ۲ و شکل ۳ دیده می‌شود، در تکرارهای ۲، ۳ و ۴، گرگ ۱ (GWO ۱) دارای بهترین مرکز خوشه است و پس از پنج تکرار (Iteration = ۵) خوشه ۱ دارای ۵ عضو و خوشه ۲ نیز دارای ۵ عضو می‌گردد و بهترین مرکز خوشه توسط گرگ ۲ به دست می‌آید که کمترین مقدار تابع برآزندگی را دارد.

در شکل ۴، نمودار تابع برآزندگی به دست آمده توسط گرگ آلفا در تکرارهای متوالی رسم شده است. تابع برآزندگی بر اساس (۱۲) محاسبه می‌گردد. همان طور که در شکل دیده می‌شود در تکرارهای متوالی، مجموع فواصل عناصر هر خوشه تا مرکز آن خوشه کم می‌گردد تا در تکرار پنجم (Iteration = ۵)، مجموع فواصل عناصر هر خوشه تا مرکز به حداقل می‌رسد. نتایج جدول ۲ و شکل‌های ۳ و ۴ نشان می‌دهد که در این مجموعه داده کوچک پس از پنج تکرار، مرکز خوشه‌ها به درستی انتخاب می‌شوند و داده‌ها در خوشه‌های اصلی قرار می‌گیرند.

۴- ارزیابی الگوریتم پیشنهادی و ارائه نتایج

در این بخش به ارزیابی الگوریتم پیشنهادی پرداخته می‌شود. الگوریتم‌ها بر روی سیستمی با i5 Intel core حافظه اصلی ۸ GB و

جدول ۱: مقادیر موقعیت‌های اعضای جمعیت در الگوریتم بهینه‌سازی چهارگرگ در تکرارهای مختلف.

Iteration	GW۱	GW۲	GW۳	GW۴	$\overline{X_\alpha}$	Best result					
Initialization	-۰/۷۳۸۳ ۰/۱۰۴	۰/۴۶۴۰ ۰/۱۵۶۲	۱/۵۸۹۴ ۱/۰۶۰۱	۰/۰۰۳۰ ۰/۷۵۳۴	۱/۶۳۴۳ ۰/۰۷۵۷	۰/۵۳۶۸ ۰/۱۳۴۴	۱/۶۸۷۴ ۰/۱۶۳۱	۰/۲۰۳۰ ۱/۰۵۳۴	۱/۰۸۹۴ ۱/۰۷۰۱	۰/۰۰۳۰ ۰/۷۵۳۴	۱۲/۳۱۱۹
۱	-۰/۷۷۵۵ ۰/۲۶۷۴	۰/۱۹۴۷ ۰/۴۲۵۵	۱/۳۳۲۴ ۰/۸۰۸۱	۰/۲۲۶۴ ۰/۶۸۱۹	۱/۳۷۷۳ -۰/۴۱۸۷	۰/۰۹۹۱ ۱/۴۶۵۰	۰/۳۵۲۴ ۱/۸۰۹۱	۱/۷۴۶۴ ۰/۶۲۲۹	۱/۳۳۲۴ ۰/۸۰۸۱	۰/۰۰۳۰ ۰/۶۸۱۹	۱۱/۸۹۳
۲	-۰/۴۱۸۵ ۰/۵۲۴۴	-۰/۰۰۰۹ ۰/۶۹۴۹	۱/۰۷۵۴ ۰/۵۵۱۱	۰/۱۵۱۴ ۰/۶۳۰۱	۱/۱۲۰۳ -۰/۱۶۱۸	۰/۰۳۹۸ ۱/۱۹۵۷	۰/۴۱۹۵ -۰/۵۷۴۴	۰/۹۰۰۹ ۱/۰۰۴۹	-۰/۴۱۸۵ ۰/۵۲۴۴	-۰/۰۰۰۹ ۰/۶۹۴۹	۱۱/۰۰۷۵
۳	-۰/۲۳۱۰ ۰/۷۱۱۹	-۰/۱۴۳۶ ۰/۸۹۱۰	۰/۸۱۸۵ ۰/۶۰۳۶	-۰/۱۱۸۰ ۰/۸۴۳۶	۰/۸۶۳۴ ۰/۰۹۵۲	-۰/۱۵۸۶ ۰/۹۲۶۳	-۰/۱۵۸۶ ۰/۹۲۲۹	-۱/۲۳۱۰ ۰/۰۹۱۵	-۰/۱۴۳۶ ۰/۷۱۱۹	-۰/۲۳۱۰ ۰/۸۹۱۰	۰/۹۸۹۵
۴	-۰/۰۹۴۱ ۰/۸۴۸۸	-۰/۱۰۸۶ ۱/۰۳۵۰	۰/۵۶۱۵ ۰/۸۶۰۶	-۰/۱۵۸۶ ۱/۰۹۶۵	۰/۶۰۶۴ ۰/۳۵۲۱	۰/۰۲۶۱ ۰/۷۶۴۲	-۱/۰۹۴۱ ۰/۸۴۸۸	-۰/۱۵۸۶ ۱/۰۳۵۰	-۰/۰۹۴۱ ۰/۸۴۸۸	-۰/۱۰۸۶ ۱/۰۳۵۰	۰/۲۶۴۷
۵	۰/۰۰۵۸ ۰/۹۴۸۷	-۰/۰۸۲۶ ۱/۱۳۹۷	۰/۳۰۴۶ ۱/۱۱۷۶	۰/۱۱۰۷ ۱/۳۳۱۶	۰/۳۴۹۵ ۰/۰۹۱	۰/۱۷۰۵ ۱/۰۳۳۶	۱/۳۰۴۲ ۰/۲۱۷۶	۰/۶۱۱۷ -۱/۳۴۲۶	۰/۳۰۴۶ ۱/۱۱۷۶	۰/۱۱۰۷ ۱/۳۳۱۶	۷/۹۳۴۲

جدول ۲: مراکز خوشبندی به دست آمده در تکرارهای متوالی.

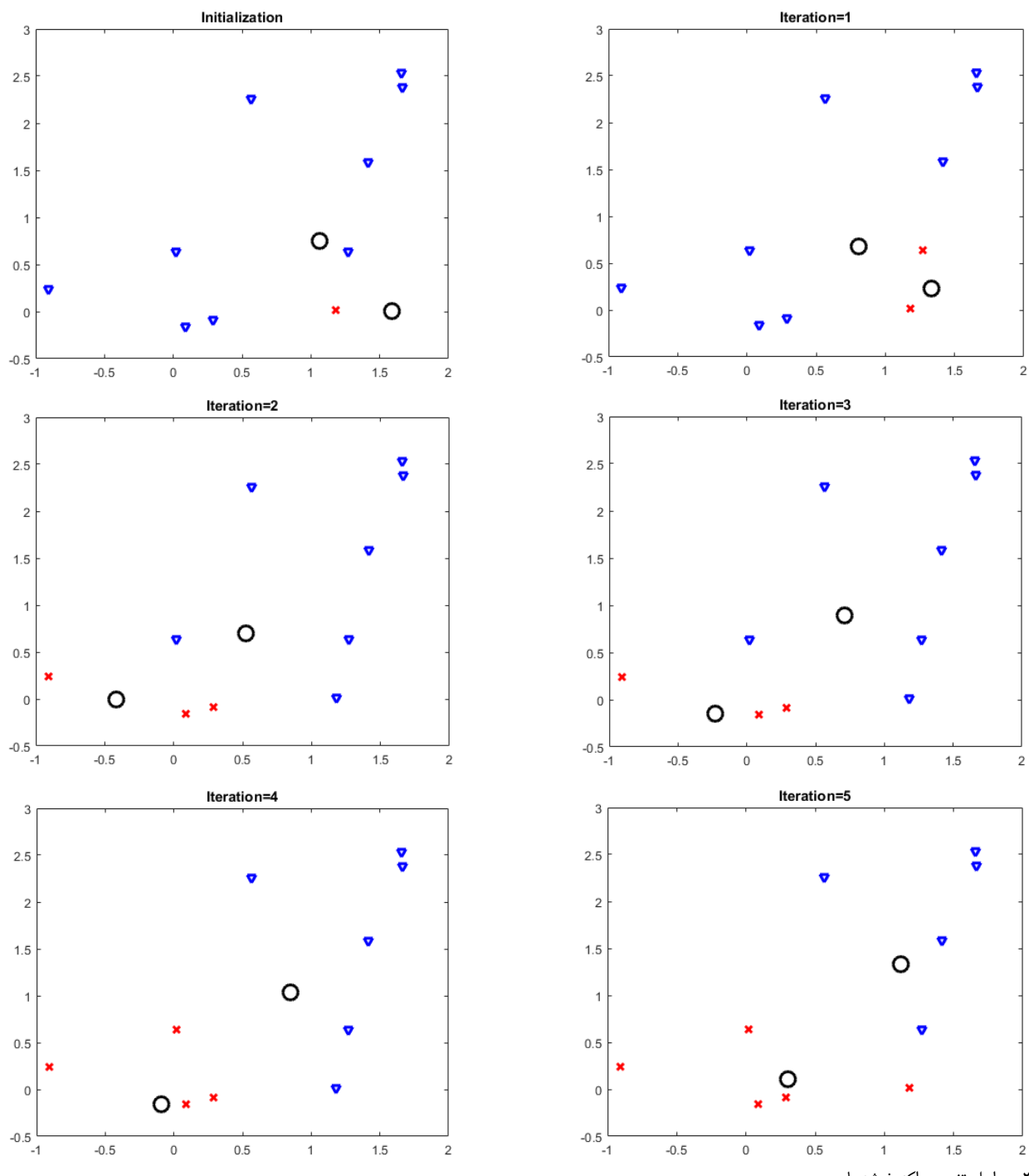
Dataset	Step					Data Clustering				
	Feature۱	Feature۲	Label	Initialization	Iteration = ۱	Iteration = ۲	Iteration = ۳	Iteration = ۴	Iteration = ۵	
۰/۲۹۱	-۰/۰۹۱	۱	۲	۲	۱	۱	۱	۱	۱	
۱/۱۸۲	۰/۰۲۱	۱	۱	۱	۲	۲	۲	۲	۱	
-۰/۹۰۵	۰/۲۴۲	۱	۲	۲	۱	۱	۱	۱	۱	
۰/۰۲۳	۰/۶۴۲	۱	۲	۲	۲	۲	۲	۱	۱	
۰/۰۸۶	-۰/۱۵۹	۱	۲	۲	۱	۱	۱	۱	۱	
۱/۶۰۹	۲/۵۳۵	۲	۲	۲	۲	۲	۲	۲	۲	
۱/۲۷۱	۰/۶۳۵	۲	۲	۱	۲	۲	۲	۲	۲	
۱/۶۶۵	۲/۳۷۹	۲	۲	۲	۲	۲	۲	۲	۲	
۰/۰۳۶	۲/۲۶۲	۲	۲	۲	۲	۲	۲	۲	۲	
۱/۴۱۴	۱/۵۸۳	۲	۲	۲	۲	۲	۲	۲	۲	

جدول ۳: مجموعه دادگان مورد استفاده.

No.	Dataset	Number of features	Number of cluster	Number of instances
۱	Iris	۴	۳	۱۵۰
۲	Breast Cancer Wisconsin (Original)	۹	۲	۶۸۳
۳	Balance scale	۴	۳	۶۲۵
۴	Seeds	۷	۳	۲۱۰
۵	Statlog (Heart)	۱۳	۲	۲۷۰
۶	Wine	۱۳	۳	۱۷۸
۷	Glass	۹	۷	۲۱۴
۸	Zoo	۱۶	۷	۱۰۱
۹	Solar	۶۰	۲	۲۰۸
۱۰	Tae	۵	۳	۱۵۱
۱۱	PenglungEW	۳۲۵	۷	۷۳
۱۲	Parkinson Disease	۲۲	۲	۱۹۵
۱۳	Ecoli	۷	۸	۳۳۶
۱۴	Vehicle	۱۸	۴	۸۴۶

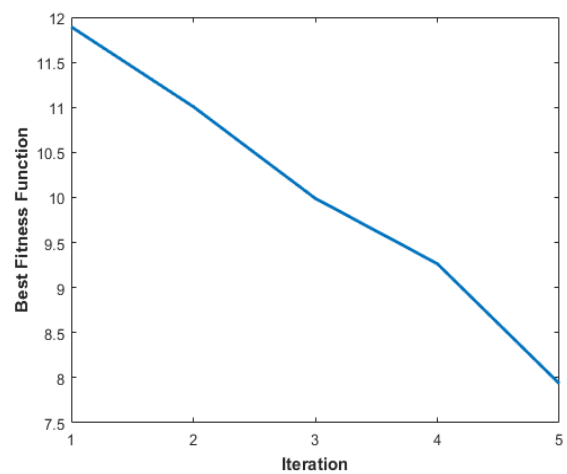
دارای ویژگی‌ها، مراکز خوشبندی و تعداد متفاوتی نمونه هستند. همچنین برخی از این مجموعه دادگان، داده‌های نامتوافق نهستند که نمونه‌های یک یا چند کلاس، چند برابر کلاس‌های دیگر است که کار خوشبندی را مشکل می‌سازد. از طرفی تعداد زیاد خوشبندی‌ها، چالش دیگری است که درجهت عکس بهبود معیارهای ارزیابی است.

که مشاهده می‌شود، الگوریتم‌ها بر اساس درصد طبقه‌بندی نادرست (خطا)، انحراف معیار، دقت و معیار F حاصل از نتایج خوشبندی با یکدیگر مقایسه شده‌اند. تعداد جمعیت اولیه ۵۰ و حداقل تکرار ۱۵۰ در نظر گرفته شده و هر کدام از الگوریتم‌ها ۱۰ بار اجرا شده‌اند و میانگین نتایج آنها در جدول قرار گرفته است. مجموعه دادگان در نظر گرفته شده،

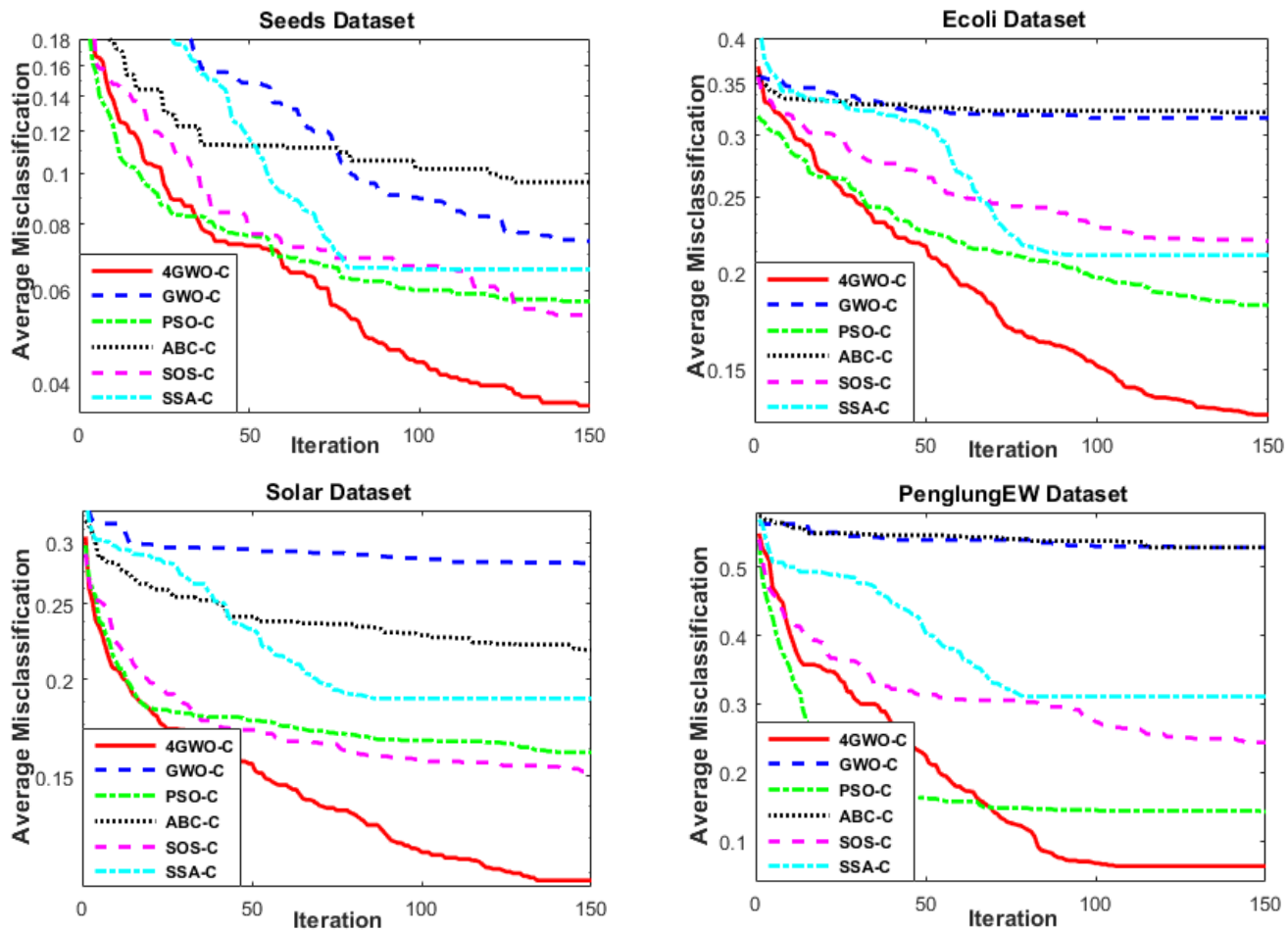


شکل ۳: مراحل تغییر مرکز خوشها.

الگوریتم‌های مورد مقایسه، الگوریتم پیشنهادی ۴، الگوریتم گرگ خاکستری، الگوریتم زنبور عسل مصنوعی، الگوریتم ارگانیسم‌های هم‌زیست، الگوریتم سالپ و الگوریتم ازدحام ذرات می‌باشدند. همان طور که در جدول ۵ قابل مشاهده است در بین این الگوریتم‌ها، نتایج الگوریتم پیشنهادی بسیار قابل توجه است و راه حل‌های بهتری را ارائه داده است. در مجموعه دادگان Iris و Breast Cancer نتایج الگوریتم‌ها مشابه یکدیگر می‌باشد، هرچند که الگوریتم پیشنهادی و SOS نتایج بهتری را ارائه می‌دهند. الگوریتم گرگ خاکستری در تمام مجموعه دادگان به غیر از دو مجموعه دادگان Balance scale و Seeds، نتایج بسیار ضعیفی از خود ارائه می‌دهد. دلیل این امر آن است که در الگوریتم گرگ خاکستری، جمعیت دنباله‌رو سه عضو بهتر هستند و چنانچه این سه عضو به بهینه محلی همگرا گردند، تمام جمعیت به سمت آن بهینه کشیده



شکل ۴: نمودار تغییرات تابع برآزنده‌گی گرگ آلفا (بهترین راه حل).



شکل ۵: رفتار الگوریتم‌ها بر اساس خطای دسته‌بندی روی مجموعه دادگان Seeds، Ecoli، Solar و PenglungEW.

مختلفی مثل ترکیب خوشبندی و طبقه‌بندی برای طبقه‌بندی آنها استفاده می‌شود. به همین دلیل تفاوت قابل توجهی بین درصد طبقه‌بندی نادرست (خطا) و دقت در آنها دیده می‌شود. به عنوان مثال، مجموعه دادگان Ecoli دارای ۸ کلاس با ۳۳۶ نمونه است. از بین این نمونه‌ها دو نمونه متعلق به کلاس ۳، ۲ نمونه متعلق به کلاس ۴ و ۵ نمونه متعلق به کلاس ۷ هستند. بیشترین نمونه متعلق به کلاس ۱ و کلاس ۲ است. در این مجموعه دادگان، عملکرد الگوریتم گرگ خاکستری و الگوریتم زنبور عسل مصنوعی بسیار ضعیف است.

در شکل ۵، رفتار الگوریتم‌ها بر اساس خطای دسته‌بندی روی مجموعه دادگان Ecoli، Seeds، Solar و PenglungEW نشان داده شده است. با توجه به این شکل، الگوریتم بهینه‌سازی گرگ خاکستری و الگوریتم زنبور عسل در همان تکرارهای اولیه به دام بهینه محلی گرفتار می‌شوند و توانایی فرار از آن را ندارند. اما روش پیشنهادی با اکتشاف خوب در تکرارهای اولیه و برقراری توازن با بهره‌برداری از اواسط اجرای الگوریتم، مراکز خوش بهتری را انتخاب می‌کند.

کارایی بهتر روش پیشنهادی در به دست آوردن پاسخ‌های خوب، به دلیل عملکرد الگوریتم در برقراری توازن بین اکتشاف و بهره‌برداری است. با محاسبه p_i برای هر گرگ در الگوریتم پیشنهادی، موقعیت هر گرگ نسبت به گرگ آلفا مشخص می‌گردد. در ابتدای اجرای الگوریتم بایستی اکتشاف صورت گیرد و سپس از اواسط اجرای اکتشاف به سمت بهره‌برداری حرکت کرد. در ابتدا که گرگ‌ها از یکدیگر فاصله دارند، p_i آنها کم است و این نشان می‌دهد که از بهترین راه حل فاصله دارند و در نتیجه به اکتشاف می‌پردازند. به تدریج که به اواسط اجرای الگوریتم

جدول ۴: تعیین پارامترهای الگوریتم ۴GWO-C

Metric	MCR	STD	Precision	F-Measure
Variable				
Population-Size = ۵۰				
Iter = ۱۰۰	۳۰.۶۹%	۰.۰۱۳۶	۹۰.۶۴۲%	۹۱.۰۶۹%
Iter = ۱۵۰	۱۸۸۱%	۰.۰۱۵۸	۹۶.۱۳۷%	۹۵.۴۴۰%
Iter = ۲۰۰	۲۹۷۰%	۰.۰۱۷۵	۸۹.۸۸۳%	۹۰.۵۸۰%
Max-Iteration = ۱۵۰				
Population-Size = ۲۰	۲۹۶۰%	۰.۰۲۵۶	۸۵.۱۷۷%	۸۶.۷۸۹%
Population-Size = ۳۰	۲۹۷۰%	۰.۰۱۹۲	۹۳.۴۲۷%	۹۲.۶۹۳%
Population-Size = ۵۰	۱۸۸۱%	۰.۰۱۵۸	۹۶.۱۳۷%	۹۵.۴۴۰%
Population-Size = ۵۰ و Max-Iteration = ۱۵۰				
ScoutOmega_size = ۵%	۳۴۶۵%	۰.۰۲۳	۹۲.۲۷۵%	۹۲.۰۳۳%
ScoutOmega_size = ۱۰%	۱۸۸۱%	۰.۰۱۵۸	۹۶.۱۳۷%	۹۵.۴۴۰%
ScoutOmega_size = ۲۰%	۳۴۶۵%	۰.۰۲۳	۹۰.۲۴۵%	۹۰.۷۸۳%

می‌شوند و امکان فرار از بهینه محلی را ندارند. یعنی اگرچه الگوریتم گرگ خاکستری دارای قابلیت بهره‌برداری خوبی است اما قابلیت اکتشاف ضعیفی دارد. در مجموعه دادگان Glass، الگوریتم‌های گرگ خاکستری و زنبور عسل مصنوعی، نتایج بسیار ضعیف مخصوصاً در معیار دقت و معیار F نشان می‌دهد. در مجموعه دادگان Zoo، PenglungEW، Solar و Vehicle Ecoli و نشان تفاوت نتایج الگوریتم پیشنهادی با بقیه الگوریتم‌ها بسیار قابل توجه است. این مجموعه دادگان در دسته مجموعه دادگان نامتوازن می‌باشند که برای طبقه‌بندی بسیار مشکل هستند و از روش‌های

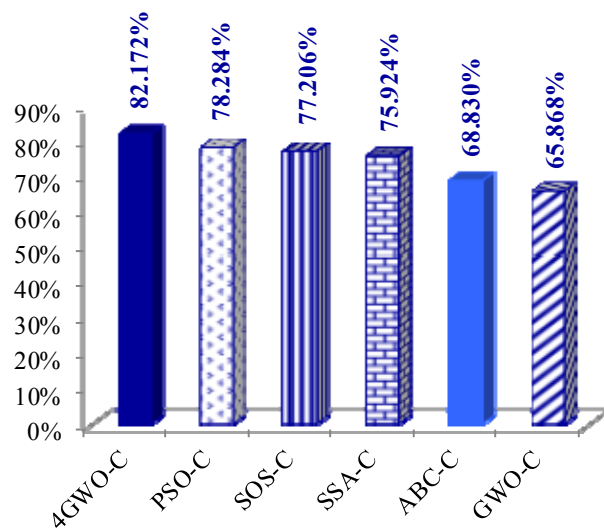
جدول ۵: نتایج حاصل از اجرای الگوریتم روى مجموعه دادگان.

Metric Algorithm	Dataset	MCR	STD	Precision	F-Measure	Dataset	MCR	STD	Precision	F-Measure
۴GWO-C	Iris	۰,۹۳۳%	۰,۰۰۳۴	۹۹,۰۸۰%	۹۹,۰۷۳%	Zoo	۱,۸۸۱%	۰,۰۱۵۸	۹۶,۱۳۷%	۹۵,۴۴۰%
GWO-C		۱,۱۱۳%	۰,۰۰۳۲	۹۸,۸۸۶%	۹۸,۸۷۶%		۲۱,۶۸۳%	۰,۰۳۴۸	۴۸,۰۰۵%	۵۱,۱۷۱%
PSO-C		۱,۶۶۷%	۰,۰۰۹۶	۹۸,۴۰۰%	۹۸,۳۶۶%		۸,۶۱۴%	۰,۰۴۶۷	۸۲,۱۵۹%	۸۲,۰۹۴%
ABC-C		۲,۴۰۰%	۰,۰۰۵۶	۹۷,۷۲۴%	۹۷,۶۶۲%		۱۹,۰۱۰%	۰,۰۱۶۰	۵۷,۸۷۲%	۵۹,۷۹۷%
SOS-C		۱,۱۱۳%	۰,۰۰۵۵	۹۸,۸۹۱%	۹۸,۸۷۹%		۷,۶۲۴%	۰,۰۲۳۸	۸۵,۴۲۴%	۸۳,۵۹۶%
SSA-C		۱۶,۰۰%	۰,۰۰۷۸	۹۸,۴۴۳%	۹۸,۴۲۲%		۱۰,۴۹۵%	۰,۰۴۷۶	۷۹,۹۱۰%	۷۹,۹۷۰%
۴GWO-C	Breast Cancer Wisconsin	۱,۹۴۷%	۰,۰۰۱۲	۹۷,۵۴۵%	۹۷,۴۹۲%	Solar	۱۱,۰۱۰%	۰,۰۱۱۹	۸۹,۲۸۵%	۸۹,۰۵۸%
GWO-C		۲,۱۱۲%	۰,۰۰۲۱	۹۷,۲۵۳%	۹۷,۲۲۱%		۲۸,۲۲۱%	۰,۰۲۴۹	۷۲,۲۰۶%	۷۱,۸۷۲%
PSO-C		۲,۰۵٪	۰,۰۰۱۰	۹۷,۴۶۱%	۹۷,۴۲۷%		۱۶,۱۰۶%	۰,۰۲۰۰	۸۴,۳۹۱%	۸۴,۱۹۱%
ABC-C		۲,۱۸۲٪	۰,۰۰۱۳	۹۷,۲۵۱٪	۹۷,۲۴۵٪		۲۱,۸۲۷٪	۰,۰۱۳۶	۷۸,۷۷۷٪	۷۸,۳۲۴٪
SOS-C		۱,۹۴۷٪	۰,۰۰۰۷	۹۷,۵۰۲٪	۹۷,۴۹۹٪		۱۵,۱۱۴٪	۰,۰۱۴۹	۸۵,۳۶۸٪	۸۴,۹۵۱٪
SSA-C		۲,۲۲۵٪	۰,۰۰۲۷	۹۷,۲۵۵٪	۹۷,۰۹۱٪		۱۸,۸۹۴٪	۰,۰۳۱۰	۸۱,۲۹۴٪	۸۱,۲۰۳٪
۴GWO-C	Balance scale	۱۴,۷۶۸٪	۰,۰۱۴۴	۷۰,۸۰۴٪	۷۱,۲۵۰٪	Tae	۳۹,۲۷۲٪	۰,۰۲۱۴	۶۳,۴۷۶٪	۶۲,۲۶۹٪
GWO-C		۱۶,۶۵۶٪	۰,۰۱۷۱	۶۹,۲۱۶٪	۶۹,۹۱۰٪		۴۳,۵۱۰٪	۰,۰۰۵۰۲	۵۷,۳۶۷٪	۵۶,۸۶۴٪
PSO-C		۱۹,۰۸۴٪	۰,۰۲۵۳	۶۷,۱۷۱٪	۶۷,۶۰۷٪		۳۹,۰۳٪	۰,۰۲۳۱	۶۳,۰۴۶٪	۶۱,۸۵۷٪
ABC-C		۲۴,۲۷۲٪	۰,۰۲۲۱	۶۵,۷۲۳٪	۶۵,۰۳۶٪		۴۱,۱۹۲٪	۰,۰۱۶۲	۶۰,۶۴۹٪	۵۹,۸۰۸٪
SOS-C		۱۶,۳۵۶٪	۰,۰۱۵۷	۶۹,۷۸۴٪	۷۰,۴۸۰٪		۴۰,۹۲۷٪	۰,۰۱۳۲	۶۲,۹۵۶٪	۶۱,۱۴۷٪
SSA-C		۱۶,۶۵۶٪	۰,۰۳۰۷	۷۰,۱۹۰٪	۷۱,۲۲۶٪		۴۲,۸۴۸٪	۰,۰۲۴۸	۶۰,۳۸۲٪	۵۸,۹۵۶٪
۴GWO-C	Seeds	۳,۶۱۹٪	۰,۰۰۹۶	۹۶,۵۴۷٪	۹۶,۴۶۴٪	PenglungEW	۶,۳۰۱٪	۰,۰۱۹۶	۹۳,۲۴۷٪	۹۲,۵۸۱٪
GWO-C		۷,۴۲۹٪	۰,۰۰۵۰۳	۹۲,۷۲۰٪	۹۲,۶۴۵٪		۵۲,۸۷۷٪	۰,۰۴۲۹	۴۴,۹۳۲٪	۴۷,۹۴۶٪
PSO-C		۵,۷۱۴٪	۰,۰۲۷۴	۹۴,۴۰۵٪	۹۴,۳۴۵٪		۱۴,۲۴۷٪	۰,۰۰۵۲۱	۸۴,۷۶۱٪	۸۴,۸۸۱٪
ABC-C		۹,۶۱۹٪	۰,۰۱۷۱	۹۰,۷۱۲٪	۹۰,۵۴۶٪		۵۲,۸۷۷٪	۰,۰۳۷۸	۴۶,۸۶٪	۴۸,۸۲۱٪
SOS-C		۵,۳۸۱٪	۰,۰۱۱۲	۹۴,۷۴۷٪	۹۴,۶۸۳٪		۲۴,۳۸۴٪	۰,۰۰۵۴۳	۷۴,۵۵۶٪	۷۳,۳۷۵٪
SSA-C		۶,۵۷۱٪	۰,۰۲۵۰	۹۳,۵۷۲٪	۹۳,۵۰۰٪		۳۱,۰۹۶٪	۰,۰۳۲۳	۶۷,۴۵۲٪	۶۷,۶۱۷٪
۴GWO-C	Statlog (Heart)	۱۱,۲۹۶٪	۰,۰۰۷۳	۸۹,۱۴۴٪	۸۸,۶۲۲٪	Parkinson	۹,۱۷۹٪	۰,۰۰۶۶	۹۴,۰۵۸٪	۸۷,۴۰۴٪
GWO-C		۱۵,۷۷۸٪	۰,۰۱۹۸	۸۴,۷۹۸٪	۸۴,۱۲۲٪		۱۴,۳۵۹٪	۰,۰۲۱۴	۸۳,۴۶۹٪	۸۰,۱۱۸٪
PSO-C		۱۲,۲۲۲٪	۰,۰۰۳۹	۸۸,۳۱۴٪	۸۷,۶۹۰٪		۹,۴۳۶٪	۰,۰۰۶۰	۹۳,۴۳۴٪	۸۶,۹۸۱٪
ABC-C		۱۴,۳۳۳٪	۰,۰۰۵۰	۸۵,۹۵۶٪	۸۵,۰۴۰٪		۱۱,۱۲۸٪	۰,۰۰۹۱	۹۰,۹۶۱٪	۸۴,۴۱۲٪
SOS-C		۱۱,۷۴۱٪	۰,۰۰۳۰	۸۸,۶۴۸٪	۸۸,۱۵۰٪		۹,۶۹۲٪	۰,۰۰۷۴	۹۳,۳۹۷٪	۸۶,۶۳۸٪
SSA-C		۱۲,۷۴۱٪	۰,۰۰۹۸	۸۷,۳۸۴٪	۸۷,۱۲۰٪		۱۰,۶۷٪	۰,۰۱۳۰	۹۰,۳۲۸٪	۸۵,۰۰۶٪
۴GWO-C	Wine	۰,۳۹۳٪	۰,۰۰۶۰	۹۹,۶۱۵٪	۹۹,۶۳۸٪	Ecoli	۱۳,۱۲۵٪	۰,۰۲۸۷	۶۶,۷۳۲٪	۶۶,۴۳۱٪
GWO-C		۱۲,۴۷۲٪	۰,۰۰۵۸۴	۸۸,۱۸۳٪	۸۷,۷۹۷٪		۳۱,۵۷٪	۰,۰۳۱۶	۲۴,۳۶٪	۲۷,۵۱۹٪
PSO-C		۱,۲۹۲٪	۰,۰۰۹۹	۹۸,۷۹۳٪	۹۸,۷۳۳٪		۱۸,۱۲۵٪	۰,۰۰۵۰۳	۵۵,۰۴۷٪	۵۶,۷۶۸٪
ABC-C		۱۰,۲۲۵٪	۰,۰۱۶۳	۹۰,۶۰۵٪	۹۰,۲۷۲٪		۳۲,۱۱۳٪	۰,۰۱۵۱	۳۱,۳۶۶٪	۳۴,۵۱۹٪
SOS-C		۲,۰۲۲٪	۰,۰۰۸۹	۹۷,۹۴۲٪	۹۸,۰۳۱٪		۲۱,۹۳۵٪	۰,۰۱۸۰	۴۶,۹۳۶٪	۴۷,۹۸۳٪
SSA-C		۲,۴۱۶٪	۰,۰۱۵۹	۹۷,۶۵۴٪	۹۷,۶۴۳٪		۲۱,۰۴۲٪	۰,۰۰۴۵۵	۵۳,۰۸۷٪	۵۴,۰۰۵٪
۴GWO-C	Glass	۳۴,۳۵۲٪	۰,۰۳۷۸	۴۱,۸۴۳٪	۴۳,۱۱۱٪	Vehicle	۳۵,۶۰۳٪	۰,۰۳۶۶	۵۸,۳۸۳٪	۶۱,۱۶۹٪
GWO-C		۴۶,۹۱۶٪	۰,۰۰۷۷	۲۱,۹۱۸٪	۲۲,۹۰۲٪		۵۷,۵۳۰٪	۰,۰۲۸۸	۲۶,۸۹۸٪	۳۲,۶۹۴٪
PSO-C		۳۷,۶۶۴٪	۰,۰۰۴۱۳	۳۷,۵۷۲٪	۳۷,۷۶۷٪		۴۱,۴۶۶٪	۰,۰۳۲۲	۵۵,۴۹۹٪	۵۶,۹۱۴٪
ABC-C		۴۴,۷۲۰٪	۰,۰۲۱۸	۲۷,۷۹۰٪	۲۸,۲۴۷٪		۵۳,۰۳۸٪	۰,۰۱۳۰	۳۸,۳۹۸٪	۴۲,۱۸۷٪
SOS-C		۳۸,۸۷۹٪	۰,۰۳۴۵	۴۰,۸۹۱٪	۴۱,۳۰۹٪		۴۴,۳۹۷٪	۰,۰۲۲۵	۵۱,۸۲۹٪	۵۳,۷۶۴٪
SSA-C		۴۱,۲۱۵٪	۰,۰۴۳۳	۳۵,۹۵۷٪	۳۵,۷۹۰٪		۴۴,۶۶۹٪	۰,۰۳۶۰	۵۴,۴۰۰٪	۵۴,۸۸۵٪

دادگان Glass، Zoo و Tae بر اساس میانگین تابع برازنده‌گی نمایش داده شده است. تابع برازنده‌گی مورد استفاده در تحقیق از (۱۲) به دست می‌آید. این تابع باید کمینه گردد تا فاصله مرکز خوشها و داده‌های داخل آنها حداقل باشند. در بین الگوریتم‌ها، الگوریتم پیشنهادی کمترین مقدار و الگوریتم گرگ خاکستری بیشترین مقدار را به دست آورده است. در شکل ۷، نتایج الگوریتم‌های مورد استفاده برای خوشبندی داده‌ها روی مجموعه

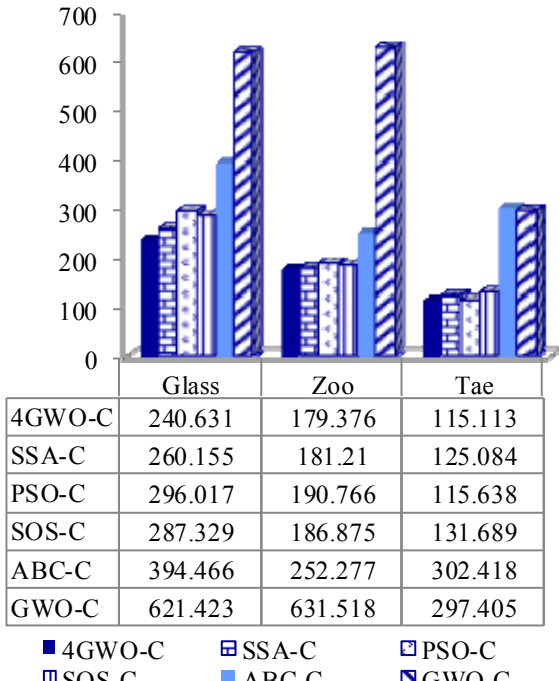
می‌رسیم، گرگ‌ها به بهینه نزدیک‌تر می‌گردند و بنابراین p_i آنها به یک نزدیک می‌شود و بر اساس حرکت سه گرگ برتر گروه، موقعیت بعدی آنها مشخص می‌گردد. در این حالت باز هم اگر گرگ‌ها در بهینه محلی باشند، چنانچه p_i گرگی کمتر از 0.5 باشد به اکتشاف می‌پردازد و امکان کشف فضای بهتر و فرار از بهینه محلی فراهم می‌گردد. در شکل ۷ نتایج الگوریتم‌ها برای خوشبندی داده‌ها روی مجموعه

Average F-measure %



شکل ۷: نتایج الگوریتم‌های فراتکاری بر اساس میانگین معیار F روی تمام مجموعه دادگان.

Average Fitness Function



شکل ۸: نتایج الگوریتم‌ها روی مجموعه دادگان Glass، Zoo و Tea بر اساس میانگین تابع برازنده‌گی.

جدول ۶: نتایج حاصل از آزمون فریدمن بر اساس درصد خطای دسته‌بندی.

Dataset \ Algorithm	4GWO-C	GWO-C	PSO-C	ABC-C	SOS-C	SSA-C
Iris	۲,۳	۲,۸۵	۳,۹	۵,۰۵	۲,۶۵	۳,۷۵
Breast cancer Wisconsin (Original)	۲,۳	۳,۸	۳,۴	۴,۸۵	۲,۰۵	۴,۶
Balance scale	۱,۷	۳,۱	۴,۸	۵,۸	۲,۷	۲,۹
Seeds	۱,۷	۳,۵۵	۳,۲۵	۵,۳۵	۳,۳۵	۳,۸
Statlog (Heart)	۱,۶	۵,۶	۳,۰۵	۵,۳	۲,۰۵	۳,۴
Wine	۱,۳	۵,۵۵	۲,۳۵	۵,۴۵	۳,۲	۳,۱۵
Glass	۱,۳	۵,۶۵	۲,۶	۴,۸۵	۲,۹	۳,۷
Zoo	۱,۰۵	۵,۷	۲,۹۵	۵,۳	۲,۸	۳,۲
Solar	۱	۶	۳,۰۵	۴,۸	۲,۳	۳,۸۵
Tae	۲,۴	۴,۲۵	۲,۴	۳,۸۵	۳,۴	۴,۷
PenglungEW	۱,۰۵	۵,۶	۲,۱۵	۵,۴	۲,۹۵	۳,۸۵
Parkinson Disease	۱,۸	۵,۷۵	۲,۲۵	۴,۵۵	۲,۸	۳,۸۵
Ecoli	۱,۳۵	۵,۴	۲,۰۵	۵,۵	۳۶	۳,۱
Vehicle	۱,۲	۵,۸	۲,۱۵	۵,۲	۳,۱۵	۳,۵
Sum	۲۲,۰۵	۶۸,۶	۴۰,۳۵	۷۱,۷۵	۳۹,۹	۵۱,۳۵
Rank	۱	۵	۳	۶	۲	۴

است [۵۱]. از روی رتبه‌بندی این جدول، الگوریتم پیشنهادی بهترین نتایج را نشان می‌دهد و در ردیهای بعدی، الگوریتم ارگانیسم‌های همزیست و ازدحام ذرات قرار دارند.

در جدول ۷، کارایی الگوریتم پیشنهادی ۴GWO-C روی مسئله خوشبندی با عملکرد الگوریتم گرگ خاکستری و چند نسخه بهبودیافته EEGWO، AGWO [۴۵]، EGWO [۴۶] و G-NHGWO [۴۷] مقایسه گردیده است. این الگوریتم‌ها برای مسئله خوشبندی به ترتیب [۴۸] AGWO-C، EEGWO-C [۴۶]، EEGWO-C [۴۷] و G-NHGWO-C [۴۵] نامیده

باشند. در این شکل الگوریتم پیشنهادی بهترین نتیجه را به دست آورده و با اختلاف زیادی، الگوریتم بهینه‌سازی ازدحام ذرات در رتبه دوم است. مطابق این شکل، الگوریتم گرگ خاکستری عملکرد ضعیفتری نسبت به همه الگوریتم‌ها بر اساس معیار F داشته و اختلاف آن با الگوریتم پیشنهادی بسیار قابل توجه (۱۶٪/۳۰٪) است.

جدول ۶ نتایج حاصل از آزمون فریدمن را بر اساس درصد خطای دسته‌بندی نشان می‌دهد. مقادیر کمتر در این جدول بهتر هستند. آزمون فریدمن، آزمونی ناپارامتری آماری برای مقایسه میانگین رتبه‌ها در گروه‌ها

جدول ۷: نتایج حاصل از اجرای الگوریتم روی مجموعه دادگان.

Metric	Algorithm	Dataset	MCR	STD	Precision	F-Measure	Dataset	MCR	STD	Precision	F-Measure
Iris	4GWO-C	Iris	0.933%	0.0034	99.80%	99.73%	Zoo	1.81%	0.0158	96.13%	95.44%
	GWO-C		1.133%	0.0032	98.88%	98.87%		21.68%	0.0248	48.05%	51.17%
	G-NHGWO-C		1.000%	0.0035	99.01%	99.00%		23.465%	0.0412	40.79%	44.80%
	AGWO-C		1.400%	0.0058	98.64%	98.62%		24.556%	0.0317	45.33%	47.77%
	EGWO-C		1.267%	0.0066	98.78%	98.75%		4.059%	0.0282	91.94%	91.00%
	EEGWO-C		4.533%	0.0166	95.61%	95.54%		24.654%	0.0226	45.03%	48.37%
	4GWO-C		1.947%	0.0012	97.54%	97.89%		11.01%	0.0119	89.28%	89.05%
	GWO-C		2.123%	0.0021	97.55%	97.72%		28.221%	0.0249	72.20%	71.87%
Breast Cancer Wisconsin	G-NHGWO-C	Breast Cancer Wisconsin	2.182%	0.0018	97.17%	97.66%	Solar	27.212%	0.0275	73.69%	73.93%
	AGWO-C		2.167%	0.0023	97.25%	97.66%		27.789%	0.0200	72.62%	72.28%
	EGWO-C		2.050%	0.0014	97.41%	97.78%		13.462%	0.0263	86.92%	86.87%
	EEGWO-C		2.987%	0.0035	96.46%	96.75%		28.221%	0.0236	73.41%	72.52%
	4GWO-C		14.768%	0.0144	70.84%	71.25%		39.72%	0.0214	63.47%	62.26%
	GWO-C		16.565%	0.0171	69.21%	69.91%		43.51%	0.0502	57.36%	56.86%
	G-NHGWO-C		15.680%	0.0233	70.34%	71.10%		42.05%	0.0384	61.31%	59.74%
	AGWO-C		17.952%	0.0150	68.45%	69.28%		43.57%	0.0381	56.78%	56.57%
Balance scale	EGWO-C	Balance scale	15.408%	0.0177	70.62%	71.50%	Tae	41.391%	0.0185	63.00%	60.97%
	EEGWO-C		35.808%	0.0368	62.56%	62.77%		46.523%	0.0144	57.21%	55.14%
	4GWO-C		3.619%	0.0096	96.54%	96.46%		6.301%	0.0196	93.24%	92.58%
	GWO-C		7.429%	0.0503	92.72%	92.84%		52.877%	0.0429	44.93%	47.94%
	G-NHGWO-C		5.381%	0.0246	94.75%	94.68%		55.616%	0.0513	41.89%	44.35%
	AGWO-C		12.429%	0.0592	88.33%	87.94%		56.164%	0.0296	40.29%	44.80%
	EGWO-C		5.190%	0.0308	94.92%	94.86%		11.333%	0.0270	88.30%	87.85%
	EEGWO-C		24.524%	0.0928	77.83%	76.48%		58.219%	0.0453	44.71%	45.12%
Seeds	4GWO-C	Seeds	11.296%	0.0073	89.14%	88.62%	PenglungEW	9.119%	0.0066	94.58%	87.40%
	GWO-C		15.778%	0.0198	84.79%	84.12%		14.359%	0.0214	83.49%	80.11%
	G-NHGWO-C		16.370%	0.0225	82.81%	83.45%		14.308%	0.0239	83.95%	80.57%
	AGWO-C		17.852%	0.0270	82.38%	82.11%		14.821%	0.0226	81.89%	79.78%
	EGWO-C		11.519%	0.0041	88.92%	88.38%		9.774%	0.0100	93.58%	86.57%
	EEGWO-C		18.482%	0.0126	81.48%	81.97%		12.513%	0.0111	87.59%	82.25%
	4GWO-C		0.393%	0.0060	99.615%	99.638%		13.125%	0.0287	66.73%	66.43%
	GWO-C		12.472%	0.0584	88.18%	87.97%		31.577%	0.0316	24.36%	27.51%
Statlog (Heart)	G-NHGWO-C	Statlog (Heart)	15.618%	0.0235	82.80%	83.97%	Parkinson	29.775%	0.0408	28.47%	22.32%
	AGWO-C		12.223%	0.0239	88.94%	88.58%		31.042%	0.0421	27.89%	31.08%
	EGWO-C		0.349%	0.0058	99.54%	99.57%		15.655%	0.0352	69.14%	66.98%
	EEGWO-C		18.876%	0.0585	84.50%	83.31%		33.512%	0.0081	27.02%	29.64%
	4GWO-C		34.252%	0.0378	41.84%	43.11%		35.603%	0.0366	58.38%	61.16%
	GWO-C		46.916%	0.0077	21.91%	22.90%		57.530%	0.0288	26.89%	32.69%
	G-NHGWO-C		46.168%	0.0281	20.15%	22.56%		52.334%	0.0615	29.61%	26.48%
	AGWO-C		47.243%	0.0109	19.10%	20.42%		54.634%	0.0240	26.98%	33.85%
Glass	EGWO-C	Glass	37.009%	0.0448	38.755%	39.541%	Ecoli	37.813%	0.0281	55.56%	58.70%
	EEGWO-C		47.290%	0.0128	22.10%	24.51%		55.910%	0.0288	35.92%	39.48%
	4GWO-C		49.324%	0.0130	19.10%	20.42%		54.634%	0.0240	26.98%	33.85%
Wine	GWO-C	Wine	12.429%	0.0058	99.54%	99.57%	Vehicle	55.910%	0.0288	35.92%	39.48%
	AGWO-C		12.223%	0.0239	88.94%	88.58%		54.634%	0.0240	26.98%	33.85%
	EGWO-C		0.349%	0.0058	99.54%	99.57%		37.813%	0.0281	55.56%	58.70%
	EEGWO-C		18.876%	0.0585	84.50%	83.31%		52.334%	0.0615	29.61%	26.48%
	4GWO-C		34.252%	0.0378	41.84%	43.11%		35.603%	0.0366	58.38%	61.16%
	GWO-C		46.916%	0.0077	21.91%	22.90%		57.530%	0.0288	26.89%	32.69%
	G-NHGWO-C		46.168%	0.0281	20.15%	22.56%		52.334%	0.0615	29.61%	26.48%
	AGWO-C		47.243%	0.0109	19.10%	20.42%		54.634%	0.0240	26.98%	33.85%
EEGWO-C	EGWO-C	EEGWO-C	37.009%	0.0448	38.755%	39.541%	Vehicle	37.813%	0.0281	55.56%	58.70%
	EEGWO-C		47.290%	0.0128	22.10%	24.51%		55.910%	0.0288	35.92%	39.48%
	4GWO-C		49.324%	0.0130	19.10%	20.42%		54.634%	0.0240	26.98%	33.85%

می‌شوند و روی مجموعه دادگان جدول ۳ با یکدیگر به رقابت می‌پردازند. بعدی قرار دارد، به ترتیب دقیقی برابر با ۹۱.۹۹٪ و ۸۸.۳۰٪ روی این مجموعه دادگان نشان می‌دهد. تعداد مراکز خوش در این مجموعه دادگان ۷ می‌باشد که غیر از روش پیشنهادی EEGWO-C، سایر الگوریتم‌های بهبودیافته گرگ نتوانسته‌اند نتایج قابل قبولی را ارائه دهند و دقیقی زیر ۵٪ داشته‌اند. در بین نسخه‌های مورد مقایسه، الگوریتم EEGWO-C

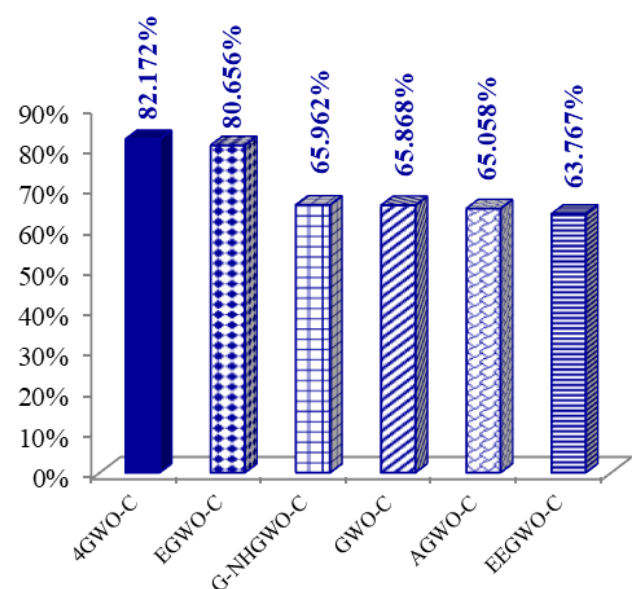
همان گونه که در جدول ۷ مشخص است الگوریتم پیشنهادی، نتایج بهتری را در این جدول در مقایسه با سایر الگوریتم‌ها نشان می‌دهد. روش پیشنهادی در مجموعه دادگانی چون Zoo و PenglungEW با اختلاف زیادی، عملکرد بهتری از نظر معیارهای مورد مقایسه دارد. در این مجموعه دادگان روش پیشنهادی به ترتیب دقیقی برابر با ۹۶.۱۳٪ و

مجموعه دادگان نامتوافق، استفاده از الگوریتم پیشنهادی در هسته بسیاری از روش‌هایی که نیاز به خوشبندی داده‌ها دارند و یا الگوریتم‌هایی مانند الگوریتم فاخته که در هسته خود از خوشبندی استفاده می‌کنند، استفاده از روابط روش پیشنهادی برای بهبود الگوریتم گرگ خاکستری در سایر الگوریتم‌های فرالیکاری و ارزیابی عملکرد آنها و پیاده‌سازی الگوریتم دودوبی و چنددهده از الگوریتم GWO.^۴

مراجع

- [1] M. Jafarzadegan, F. Safi-Esfahani, and Z. Beheshti, "Combining hierarchical clustering approaches using the PCA method," *Expert Syst. Appl.*, vol. 137, pp. 1-10, Dec 2019.
- [2] J. Han, J. Pei, and M. Kamber, *Data Mining: Concepts and Techniques*, Elsevier, 2011.
- [3] D. J. Hand, "Principles of data mining," *Drug Saf.*, vol. 30, no. 7, pp. 621-622, Jul. 2007.
- [4] D. T. Dinh and V. N. Huynh, "k-PbC: an improved cluster center initialization for categorical data clustering," *Appl. Intell.*, vol. 50, no. 8, pp. 2610-2632, Aug. 2020.
- [5] R. Xu and D. Wunsch, "Survey of clustering algorithms," *IEEE Trans. Neural Networks*, vol. 16, no. 3, pp. 645-678, May 2005.
- [6] Z. Beheshti, "A novel x-shaped binary particle swarm optimization," *Soft Comput.*, vol. 25, no. 4, pp. 3013-3042, Feb. 2021.
- [7] Z. Beheshti, "UTF: upgrade transfer function for binary metaheuristic algorithms," *Appl. Soft Comput.*, vol. 106, Article ID: 107346, 28 pp., Jul. 2021.
- [8] R. Salgotra, U. Singh, S. Singh, G. Singh, and N. Mittal, "Self-adaptive salp swarm algorithm for engineering optimization problems," *Appl. Math. Model.*, vol. 89, pp. 188-207, Jul. 2021.
- [9] Z. Beheshti, "BMNABC: binary multi-neighborhood artificial bee colony for high-dimensional discrete optimization problems," *Cybern. Syst.*, vol. 49, no. 7-8, pp. 452-474, Nov. 2018.
- [10] Z. Beheshti, S. M. Shamsuddin, S. Hasan, and N. E. Wong, "Improved centripetal accelerated particle swarm optimization," *Int. J. Adv. Soft Comput. its Appl.*, vol. 8, no. 2, pp. 1-26, Jul. 2016.
- [11] I. Aljarah, M. Mafarja, A. A. Heidari, H. Faris, and S. Mirjalili, "Clustering analysis using a novel locality-informed grey wolf-inspired clustering approach," *Knowl. Inf. Syst.*, vol. 62, no. 2, pp. 507-539, Feb. 2020.
- [12] H. D. Menendez, F. E. B. Otero, and D. Camacho, "Medoid-based clustering using ant colony optimization," *Swarm Intell.*, vol. 10, no. 2, pp. 123-145, Jul. 2016.
- [13] P. Das, D. K. Das, and S. Dey, "A modified bee colony optimization (MBCO) and its hybridization with k-means for an application to data clustering," *Appl. Soft Comput.*, vol. 70, pp. 590-603, Sept. 2018.
- [14] R. J. Kuo and F. E. Zulvia, "An improved differential evolution with cluster decomposition algorithm for automatic clustering," *Soft Comput.*, vol. 23, no. 18, pp. 8957-8973, Sept. 2019.
- [15] T. Ashish, S. Kapil, and B. Manju, "Parallel bat algorithm-based clustering using mapreduce," In: G. Perez, K. Mishra, S. Tiwari, and M. Trivedi (eds), *Networking Communication and Data Knowledge Engineering, Lecture Notes on Data Engineering and Communications Technologies*, vol 4. Springer, pp. 73-82, 2018.
- [16] O. Tarkhaneh, A. Isazadeh, and H. J. Khamnei, "A new hybrid strategy for data clustering using cuckoo search based on Mantegna levy distribution, PSO and k-means," *Int. J. Comput. Appl. Technol.*, vol. 58, no. 2, pp. 137-149, Jan. 2018.
- [17] H. A. Abdulwahab, A. Noraziah, A. A. Alsewari, and S. Q. Salih, "An enhanced version of black hole algorithm via levy flight for optimization and data clustering problems," *IEEE Access*, vol. 7, pp. 142085-142096, Aug. 2019.
- [18] K. W. Huang, Z. X. Wu, H. W. Peng, M. C. Tsai, Y. C. Hung, and Y. C. Lu, "Memetic particle gravitation optimization algorithm for solving clustering problems," *IEEE Access*, vol. 7, pp. 80950-80968, Jan. 2019.
- [19] H. Yu, Z. Chang, G. Wang, and X. Chen, "An efficient three-way clustering algorithm based on gravitational search," *Int. J. Mach. Learn. Cybern.*, vol. 11, no. 5, pp. 1003-1016, May 2020.
- [20] A. Kaur, S. K. Pal, and A. P. Singh, "Hybridization of chaos and flower pollination algorithm over K-means for data clustering," *Appl. Soft Comput.*, vol. 97, Article ID: 105523, 17 pp., Dec. 2019.
- [21] Y. Zhou, H. Wu, Q. Luo, and M. Abdel-Basset, "Automatic data clustering using nature-inspired symbiotic organism search

Average F-measure%



شکل ۸: نتایج الگوریتم‌های بهبودیافته گرگ خاکستری بر اساس میانگین معیار F روی تمام مجموعه دادگان.

ضعیفترین عملکرد را دارد. این عملکرد ضعیف در خطای به دست آمده روی مجموعه دادگان Balance scale و Seeds بسیار قابل توجه است. شکل ۸، نتایج الگوریتم‌های بهبودیافته گرگ خاکستری را روی تمام مجموعه دادگان بر اساس میانگین معیار F نشان می‌دهد. در این شکل، الگوریتم پیشنهادی چهارگرگ بهترین نتیجه را به دست آورده و الگوریتم EGWO در رتبه دوم قرار دارد. بر اساس این شکل، الگوریتم EEGWO بدترین عملکرد را نسبت به سایر الگوریتم‌های بهبودیافته گرگ خاکستری در معیار F دارد. در کل، سایر نسخه‌های الگوریتم گرگ خاکستری یعنی G-NHGWO و AGWO نیز کارایی خوبی ندارند.

۵- نتیجه‌گیری و تحقیقات آینده

در این تحقیق، ابتدا به منظور حل مشکل همگرایی زودرس و گرفتارشدن در بهینه محلی توسط الگوریتم بهینه‌سازی گرگ خاکستری، الگوریتم بهبودیافته‌ای ارائه شد. الگوریتم پیشنهادی بر روی مسئله خوشبندی پیاده‌سازی گردید و نتایج خوشبندی با الگوریتم پیشنهادی با الگوریتم بهبودیافته از الگوریتم گرگ خاکستری، الگوریتم زنبور عسل مصنوعی، الگوریتم ارگانیسم‌های همزیست، الگوریتم سالپ و چند نسخه بهبودیافته از الگوریتم گرگ خاکستری بر اساس درصد طبقه‌بندی نادرست (خطا)، انحراف معیار، دقت و معیار F با یکدیگر مقایسه شده‌اند. در مسئله خوشبندی، مجموعه دادگان چالشی با تعداد مراکز خوشی زیاد و داده‌های نامتوافق استفاده شد. نتایج جداول، نمودارها و همچنین آزمون فریدمن نشان‌دهنده عملکرد بسیار خوب الگوریتم پیشنهادی می‌باشد. الگوریتم پیشنهادی، قابلیت اکتشاف و توانایی فرار از بهینه‌های محلی را در الگوریتم گرگ خاکستری بهبود داده و همچنین عملکردی بهتر از الگوریتم مورد مقایسه نشان می‌دهد.

هرچند الگوریتم پیشنهادی دارای عملکرد بالایی در مسئله خوشبندی است، می‌توان در جهت گسترش این تحقیق در خصوص راهکارهای آینده به مواردی اشاره کرد از جمله: ارزیابی عملکرد الگوریتم پیشنهادی GWO در سایر مسائل بهینه‌سازی، استفاده از روش پیشنهادی در خوشبندی و ترکیب آن با طبقه‌بندی برای آموزش نیمه‌نظراتی در

- [۳۹] م. یقینی و ج. لسان، "حل مسئله خوشه‌بندی ظرفیت‌دار با استفاده از روش‌های مبتنی بر الگوریتم‌های شبیه‌سازی تبریدی و زنگیک،" *نشریه بین‌المللی مهندسی صنایع و مدیریت توسعه*، دوره ۲۱، شماره ۳، صص. ۴۵-۵۴، پاییز ۱۳۸۹.
- [۴۰] ع. فهمی جعفرخانلو و م. شمسی، "بخش‌بندی تصاویر رنگی چهاره مبتنی بر خوشه‌بند فازی بهینه‌سازی شده با الگوریتم‌های گرگ حاکستری و نهنگ،" *مجله علمی رایانش نرم و فناوری اطلاعات*، دوره ۱۰، شماره ۲، صص. ۱-۱۳، تیر ۱۴۰۰.
- [41] Y. Li, X. Lin, and J. Liu, "An improved gray wolf optimization algorithm to solve engineering problems," *Sustainability*, vol. 13, no. 6, Article ID: 3208, 23 pp., 15 Mar. 2021.
- [42] M. Kohli and S. Arora, "Chaotic grey wolf optimization algorithm for constrained optimization problems," *J. Comput. Des. Eng.*, vol. 5, no. 4, pp. 458-472, Oct. 2018.
- [43] Z. Yue, S. Zhang, and W. Xiao, "A novel hybrid algorithm based on grey wolf optimizer and fireworks algorithm," *Sensors*, vol. 20, no. 7, Article ID: 2147, 17 pp., Jan. 2020.
- [۴۴] ع. محمدزاده، م. مصدری، ف. سلیمانی قره‌چق و ا. جعفریان، "ارائه یک الگوریتم بهبودیافته بهینه‌سازی گرگ‌های خاکستری برای زمان‌بندی جریان کار در محیط محاسبات ابری،" *مجله علمی رایانش نرم و فناوری اطلاعات*، دوره ۸، شماره ۴، صص. ۱۷-۲۹، بهمن ۱۳۹۸.
- [45] W. Long, J. Jiao, X. Liang, and M. Tang, "An exploration-enhanced grey wolf optimizer to solve high-dimensional numerical optimization," *Eng. Appl. Artif. Intell.*, vol. 68, pp. 63-80, Feb. 2018.
- [46] M. H. Qais, H. M. Hasani, and S. Alghuwainem, "Augmented grey wolf optimizer for grid-connected PMSG-based wind energy conversion systems," *Appl. Soft Comput.*, vol. 69, pp. 504-515, Aug. 2018.
- [47] K. Luo, "Enhanced grey wolf optimizer with a model for dynamically estimating the location of the prey," *Appl. Soft Comput.*, vol. 77, no. ???, pp. 225-235, Apr. 2019.
- [48] E. Akbari, A. Rahimnejad, and S. A. Gadsden, "A greedy non-hierarchical grey wolf optimizer for real-world optimization," *Electron. Lett.*, vol. 57, no. 13, pp. 499-501, Jan. 2021.
- [49] A. Bahrololoum, H. Nezamabadipour, and S. Saryazdi, "A data clustering approach based on universal gravity rule," *Eng. Appl. Artif. Intell.*, vol. 45, pp. 415-428, Oct. 2015.
- [50] D. Dua and C. Graff, {UCI} Machine Learning Repository, 2017.
- [51] J. Derrac, S. Garcia, D. Molina, and F. Herrera, "A practical tutorial on the use of nonparametric statistical tests as a methodology for comparing evolutionary and swarm intelligence algorithms," *Swarm Evol. Comput.*, vol. 1, no. 1, pp. 3-18, Mar. 2011.

لاله عجمی پختیاروند تحصیلات کارشناسی و کارشناسی ارشد خود را در رشته مهندسی کامپیوتر گرایش نرم افزار در دانشگاه آزاد اسلامی واحد نجف آباد به پایان رساند. زمینه‌های پژوهشی مورد علاقه‌ی وی، محاسبات نرم، الگوریتم‌های فرالیکاری و داده کاوی می‌باشد.

زهرا بهشتی تحصیلات دکتری و پسا دکتری خود را در رشته علوم کامپیوتر گرایش هوش مصنوعی در دانشگاه تکنولوژی مالزی به پایان رساند و هم‌اکنون عضو هیات علمی دانشکده مهندسی کامپیوتر، دانشگاه آزاد اسلامی واحد نجف آباد می‌باشد. وی بر اساس اطلاعات و آمار محققان دانشگاه استنفورد، با در نظر گرفتن شاخص‌های استنادی استاندارد، در فهرست دانشمندان دو درصد برتر جهان، در سال ۲۰۲۰ قرار گرفت. زمینه‌های پژوهشی مورد علاقه‌ی ایشان، الگوریتم‌های فرالیکاری، یادگیری ماشین، داده کاوی و تحلیل کلان داده می‌باشد.

- [۳۷] ح. املشی و ی. بستانی املشی، "روشی جدید به منظور خوشه‌بندی داده‌های سرعت باد در نیروگاه‌های بادی با استفاده از الگوریتم‌های FCM و PSO،" *نشریه مهندسی برق و مهندسی کامپیوتر ایران*، سال ۸، شماره ۳، صص. ۲۱۰-۲۱۴، پاییز ۱۳۸۹.
- [۳۸] ع. نژاد و م. خرد، "استفاده از خوشه‌بندی BIRCH و الگوریتم بهینه‌سازی واکنش شبیه‌سازی جهت کشف تقلب در حوزه سلامت،" *نشریه مهندسی برق و مهندسی کامپیوتر ایران*، ب- مهندسی کامپیوتر، سال ۱۷، شماره ۲، صص. ۱۶۰-۱۵۳، تابستان ۱۳۹۸.
- [۳۹] algorithm," *Knowledge-Based Syst.*, vol. 163, pp. 546-557, Jan. 2019.
- [22] G. Drakopoulos, et al., "A genetic algorithm for spatiotemporal tensor clustering," *Evol. Syst.*, vol. 11, no. 3, pp. 1-11, Sept. 2019.
- [23] M. Alswaitti, M. Albughdadi, and N. A. M. Isa, "Density-based particle swarm optimization algorithm for data clustering," *Expert Syst. Appl.*, vol. 91, pp. 170-186, Jan. 2018.
- [24] J. Chen, X. Qi, L. Chen, F. Chen, and G. Cheng, "Quantum-inspired ant lion optimized hybrid k-means for cluster analysis and intrusion detection," *Knowledge-Based Syst.*, vol. 203, Article ID: 106167, 10 pp., Sept. 2020.
- [25] L. M. Abualigah, A. T. Khader, E. S. Hanandeh, and A. H. Gandomi, "A novel hybridization strategy for krill herd algorithm applied to clustering techniques," *Appl. Soft Comput.*, vol. 60, pp. 423-435, Nov. 2017.
- [26] M. Demri, S. Ferouhat, S. Zakaria, and M. E. Barmati, "A hybrid approach for optimal clustering in wireless sensor networks using cuckoo search and simulated annealing algorithms," in *Proc. 2nd Int. Conf. on Mathematics and Information Technology, ICMIT'20*, pp. 202-207, Adrar, Algeria, 18-19 Feb. 2020.
- [27] S. Gavel, P. Joshi, S. Tiwari, and A. S. Raghuvanshi, "An optimized hybrid clustering method using salp swarm optimization with K-means," In: V. Nath and J. Mandal (eds) *Nanoelectronics, Circuits and Communication Systems. Nanoelectronics, Circuits and Communication Systems, Lecture Notes in Electrical Engineering*, vol. 692, Springer, pp. 247-254, 2020.
- [28] S. K. Majhi, "Fuzzy clustering algorithm based on modified whale optimization algorithm for automobile insurance fraud detection," *Evol. Intell.*, vol. 14, no. 1, pp. 35-46, 2021.
- [29] E. Rashedi, H. Nezamabadipour, and S. Saryazdi, "GSA: a gravitational search algorithm," *Inf. Sci. (Ny)*, vol. 179, no. 13, pp. 2232-2248, Jan. 2009.
- [30] S. Mirjalili, S. M. Mirjalili, and A. Lewis, "Grey wolf optimizer," *Adv. Eng. Softw.*, vol. 69, pp. 46-61, 2014.
- [31] G. P. Gupta and S. Jha, "Integrated clustering and routing protocol for wireless sensor networks using Cuckoo and Harmony Search based metaheuristic techniques," *Eng. Appl. Artif. Intell.*, vol. 68, pp. 101-109, Feb. 2018.
- [32] G. P. Gupta and B. Saha, "Load balanced clustering scheme using hybrid metaheuristic technique for mobile sink based wireless sensor networks," *J. Ambient Intell. Humaniz. Comput.*, 12 pp., Apr. 2020. (in Press)
- [33] M. Shakil, A. Fuad Yousif Mohammed, R. Arul, A. K. Bashir, and J. K. Choi, "A novel dynamic framework to detect DDoS in SDN using metaheuristic clustering," *Trans. Emerg. Telecommun. Technol.*, 12 pp., Apr. 2019. (in Press)
- [34] R. J. Kuo, T. C. Lin, F. E. Zulvia, and C. Y. Tsai, "A hybrid metaheuristic and kernel intuitionistic fuzzy c-means algorithm for cluster analysis," *Appl. Soft Comput.*, vol. 67, pp. 299-308, Jan. 2018.
- [35] A. Kaur and Y. Kumar, "A new metaheuristic algorithm based on water wave optimization for data clustering," *Evol. Intell.*, 12 pp., Jan. 2021.
- [36] M. Ghobaei-Arani and A. Shahidinejad, "An efficient resource provisioning approach for analyzing cloud workloads: a metaheuristic-based clustering approach," *J. Supercomput.*, vol. 77, no. 1, pp. 711-750, 2021.